



دانشگاه صنعتی شریف
دانشکده علوم ریاضی

پایان نامه کارشناسی ارشد
ریاضی محض

مدل همرزلی و بزرگترین زیر دنباله صعودی جایگشت تصادفی

نگارش
روزبه فرهودی

استاد راهنما
دکتر کسری علیشاهی

دی ۱۳۸۹

به نام او

دانشگاه صنعتی شریف
دانشکده علوم ریاضی

پایان نامه کارشناسی ارشد

عنوان: مدل همرزلی و بزرگترین زیر دنباله صعودی جایگشت تصادفی
نگارش: روزبه فرهودی

کمیته داوران

استاد راهنما: دکتر کسری علیشاهی
امضاء:

ممتحن داخلی: دکتر بیژن زنگنه
امضاء:

داور خارجی: دکتر مهرداد شهشهانی
امضاء:

تاریخ:

قدردانی

از تمام زحماتی دوست و استاد راهنمای عزیزم کسری علیشاهی برایم کشیده‌اند تشکر می‌کنم و این پایان‌نامه را به پدر و مادرم که همواره پشتیبانم هستند تقدیم می‌کنم.

مدل همرزلی و بزرگترین زیردنباله صعودی جایگشت تصادفی

چکیده

بررسی رفتارهای حدی پدیده‌های تصادفی، از مسایل مهم رشته احتمالات است. مدلی که در این پایان‌نامه بررسی می‌کنیم بزرگترین زیردنباله صعودی جایگشتی تصادفی است. قدمت این مساله به دهه شصت میلادی می‌رسد و در طول حدود یک دهه حل آن ابزارها و مسایل متنوعی ابداع شد. اخیراً نیز پیشرفت‌های جالبی درباره ارتباط این مساله با مسایل دیگر شناخته شده است که مهمترین آن مساله ماتریس‌های تصادفی است. در این جا سعی خواهیم کرد صورت مساله را کامل بیان کنیم و اثبات قدیمی و تا حدی طولانی و اثبات روشن‌گر و متاخری ارائه دهیم.

واژه‌های کلیدی: جایگشت تصادفی، بزرگترین زیردنباله صعودی، مدل همرزلی، نمودار یانگ، نمایش‌های گروه جایگشتی.

فهرست مطالب

| | |
|----|---|
| ۱ | ۱. بزرگترین زیر دنباله صعودی جایگشتی تصادفی |
| ۱ | ۱.۱. ارتباط جایگشت تصادفی و فرایند نقطه‌ای پواسون |
| ۳ | ۲.۱. تقریب با فرایند پواسون |
| ۶ | ۳.۱. کران‌های بالا و پایین |
| ۸ | ۲. فرایند هم‌مرزلی |
| ۸ | ۱.۲. معرفی فرایند هم‌مرزلی |
| ۱۰ | ۲.۲. فرایند هم‌مرزلی در رفتارهای بزرگ |
| ۱۲ | ۳.۲. کران بالایی |
| ۱۳ | ۴.۲. محاسبه حد |
| ۱۷ | ۳. قانون حدی نمودار یانگ |
| ۱۷ | ۱.۳. نمودار یانگ |
| ۱۸ | ۲.۳. نمایش‌های تحویل ناپذیر گروه جایگشتی |
| ۲۲ | ۳.۳. الگوریتم رابینسون-شنسند |
| ۲۵ | ۴.۳. توابع شکسته و قضیه اثر |
| ۳۰ | ۵.۳. نحوه حدگیری نمودارهای یانگ |
| ۳۱ | ۶.۳. نمودارهای پیوسته و توپولوژی روی نمودارهای یانگ |
| ۳۴ | ۷.۳. جایگشت‌های مجموعه نامتناهی |
| ۳۵ | ۸.۳. گشتاورهای جیسس-مورفی |
| ۳۸ | ۹.۳. قانون ضعیف همگرایی نمودارهای یانگ |
| ۳۹ | ۱۰.۳. قانون قوی نمودارهای یانگ |
| ۴۱ | آ. ضمیمه |
| ۴۱ | ۱.آ. نظریه نمایش |
| ۴۲ | ۲.آ. مشخصه‌های یک نمایش |
| ۴۶ | کتاب‌نامه |

فهرست تصاویر

| | |
|----|--|
| ۲ | ۱.۱. طولانی‌ترین خط شکسته‌ی با شیب مثبت |
| ۹ | ۱.۲. توصیف هندسی فرایند هم‌مرزلی |
| ۱۷ | ۱.۳. نمودار یانگ افراز $(1^2, 2^3, 3^1, 5^1, 8^1)$ |
| ۲۰ | ۲.۳. نمودارهای یانگ برای $n = 3$ |
| ۲۰ | ۳.۳. نمایش گروه S_3 |
| ۲۳ | ۴.۳. تابلو یانگ قبل از الحاق ۴ |
| ۲۳ | ۵.۳. تابلو یانگ بعد از الحاق ۴ |
| ۲۴ | ۶.۳. الگوریتم رابینسن-شنستد روی جایگشت $(5, 4, 1, 6, 7, 2, 3)$ |
| ۳۱ | ۷.۳. درخت یانگ |
| ۳۴ | ۸.۳. نمودارهای \bar{Y} |
| ۳۵ | ۹.۳. حالت‌های مختلف قرار گرفتن دو عدد در تابلوی یانگ |
| ۴۰ | ۱۰.۳. نحوه جابجایی اعداد |

پیش گفتار

بزرگترین زیر دنباله صعودی یک جایگشت به طور میانگین چه اندازه‌ای دارد؟ این مسئله اولین بار توسط اولام در اوایل دهه ۶۰ میلادی طرح شد. او با روش‌های مونت کارلو حدس زد اگر جایگشتی از S_n انتخاب شود، میانگین بزرگترین زیر دنباله صعودی آن رشدی از مرتبه \sqrt{n} دارد.

اولین قدم در سال ۱۹۷۱ توسط همرزلی^۱ برداشته شد. او نشان داد این مساله بیانی هندسی دارد و اگر L_n متغیر تصادفی طول بزرگترین زیر دنباله صعودی باشد، $c = \lim_{n \rightarrow \infty} \frac{\mathbb{E}(L_n)}{\sqrt{n}}$ وجود دارد هرچند که مقدار آن نامعلوم بود. تلاش‌ها برای محاسبه آن ادامه یافت. محاسبات عددی پیش‌بینی می‌کرد c برابر ۲ است و سرانجام ورشیک و کروو در سال ۱۹۷۹ اثبات دقیقی برای آن یافتند. کار آن‌ها بر اساس تناظری بین جایگشت‌های تصادفی و نمایش‌های گروه S_n است. در سال ۱۹۹۵ الدوس و دیاکونیس با الهام از ایده همرزلی فرایندی را معرفی کردند که اثبات مقدماتی برای $c = 2$ ارائه می‌داد. این فرایند امروزه به فرایند همرزلی معروف است. در دهه‌های اخیر این مساله دوباره مورد توجه قرار گرفته است. یکی از دلایل آن تشابه حیرت انگیز رفتار حدی L_n با بزرگترین مقدار ویژه یک ماتریس تصادفی است. در سال ۱۹۹۹ یوهانسون، دایفت و بیک در محاسباتی طاقت‌فرسا نشان دادند $L_n = 2\sqrt{n} - \mu_\infty n^{1/6} + o(n^{1/6})$ که μ_∞ مرتبط با توزیعی شناخته شده در ماتریس‌های تصادفی به نام توزیع ترسی-ویدام است.

در فصل اول این پایان نامه به این بیان هندسی و اثبات همرزلی می‌پردازیم و تقریب‌هایی اولیه برای c ارائه می‌دهیم. در فصل دوم به اثبات الدوس و دیاکونیس اختصاص دارد. مطالب این فصل مستقیماً از کار آن‌ها برداشته شده است. در فصل پایانی اثبات ورشیک و کروو را بیان می‌کنیم. از آنجا که این اثبات از نظریه نمایش استفاده می‌کند، در ضمیمه این پایان نامه به مروری کوتاه بر این نظریه خواهیم پرداخت.

^۱J.Hammersely

۱. بزرگترین زیر دنباله صعودی جایگشتی تصادفی

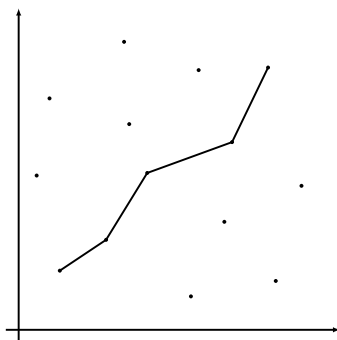
۱.۱. ارتباط جایگشت تصادفی و فرایند نقطه‌ای پواسون

چگونه می‌توان جایگشت یکنواختی از بین تمام جایگشت‌ها تولید کرد؟ یک الگوریتم ساده به شرح زیر است: ابتدا عدد یک را می‌نویسیم. سپس عدد دو را به احتمال برابر سمت چپ یک و یا راست آن قرار می‌دهیم و بنابراین جایگشت حاصل به احتمال برابر $(1, 2)$ یا $(2, 1)$ است. در قدم n -ام عدد n را به احتمال برابر سر، ته و یا در یکی از $n-1$ فاصله بین اعضای جایگشت فعلی می‌گذاریم. به وضوح جایگشت نهایی به طور یکنواخت از بین $n!$ جایگشت S_n تولید شده است.

روش بالا نه تنها در هر مرحله یک جایگشت تصادفی یکنواخت تولید می‌کند بلکه فرایندی تصادفی روی جایگشت‌ها می‌سازد. در فصل سوم از این نکته در ارتباط با شکل حدی نمودارهای یانگ استفاده خواهیم کرد.

اما در این جا الگوریتمی هندسی برای تولید یک جایگشت تصادفی بیان می‌کنیم: فرض می‌کنیم \mathcal{N} یک فرایند نقطه‌ای پواسون^۱ با نرخ ۱ در صفحه I مربع واحد $\mathbb{R}^2 \subset [0, 1] \times [0, 1]$ باشد. تعداد نقاط در I متغیر تصادفی پواسونی با نرخ ۱ است. همچنین فرض می‌کنیم ω یک نمونه از این فرایند با شرط حضور n نقطه در آن باشد. نقاط در I را روی هر دو محور x و y تصویر و به شکل صعودی مرتب می‌کنیم: $x_1 < x_2 < \dots < x_n$ و $y_1 < y_2 < \dots < y_n$. بنابراین به ازای یک جایگشت $\sigma \in S_n$ نقاط در I به شکل $\{(x_i, y_{\sigma(i)}) \mid 1 \leq i \leq n\}$ هستند. به علت تقارن فرایند نقطه‌ای پواسون می‌توان دید جایگشت σ همان طور که خواسته شده بود به طور یکنواخت از بین جایگشت‌های S_n انتخاب شده است. اهمیت این الگوریتم ارتباطش با بزرگترین زیر دنباله‌ی صعودی است. انتخاب یک زیر دنباله‌ی صعودی در σ معادل انتخاب تعدادی نقطه است که پاره‌خط‌های واصل بین هر کدام از آن‌ها شیب مثبت داشته باشد می‌خواهیم با استفاده از این بیان هندسی احکامی برای طول بزرگترین زیر دنباله صعودی ثابت کنیم. متغیر تصادفی $L_n(\sigma)$ را طول بزرگترین زیر دنباله صعودی $\sigma \in S_n$ می‌گیریم و برای فرایند نقطه‌ای پواسون \mathcal{N} روی کل صفحه، متغیر تصادفی $L^\nearrow(x, y)$ را تعداد نقاط روی بزرگترین خط شکسته‌ی با شیب مثبت در ناحیه $[0, y] \times [0, x]$ (بدون شرط روی تعداد نقاط I) قرار می‌دهیم و برای $x \in \mathbb{R}$ تعریف می‌کنیم:

^۱فرایند نقطه‌ای پواسون مدل احتمالاتی برای تولید نقاط تصادفی در صفحه است. این فرایند با این دو شرط به طور یکتا مشخص می‌شود: (۱) تعداد نقاط هر زیر مجموعه بول از صفحه متغیری پواسون با نرخ مساحت آن است. (۲) تعداد نقاط دو زیر مجموعه مجزا از صفحه مستقل از هم است.



شکل ۱.۱: طولانی‌ترین خط شکسته‌ی با شیب مثبت

$$g(x) = \mathbb{E}(L^{\nearrow}(x, x))$$

از آن‌جا که در مربع $[0, \sqrt{n}] \times [0, \sqrt{n}]$ به طور میانگین n نقطه وجود دارد انتظار داریم متغیر تصادفی‌های L_n و $L^{\nearrow}(\sqrt{n}, \sqrt{n})$ در توزیع نزدیک به یکدیگر باشند. برای ساده‌گی متغیر تصادفی $L^{\nearrow}(\sqrt{x}, \sqrt{x})$ را با L_x^{\nearrow} نشان می‌دهیم. فعلاً توجه خود را محدود به تابع $g(x)$ می‌کنیم و رفتار حدی آن را وقتی $x \rightarrow +\infty$ بررسی می‌کنیم و در بخش بعد آن را به L_n تعمیم می‌دهیم.

مشاهده می‌کنیم که با کنار هم قرار دادن یک خط شکسته‌ی با شیب مثبت از $(0, 0)$ تا (t, t) و از (t, t) تا $(t+s, t+s)$ یک خط شکسته‌ی با شیب مثبت از $(0, 0)$ تا $(t+s, t+s)$ به دست می‌آید. اما توجه کنید که به علت پواسونی بودن فرایند نقطه‌ای، متغیر تصادفی بزرگترین خط شکسته با شیب مثبت از نقطه (t, t) تا $(t+s, t+s)$ فرقی با متغیر تصادفی مشابه‌ای که از $(0, 0)$ به (s, s) می‌رسد، ندارد. در نتیجه متغیر تصادفی $\tilde{L}^{\nearrow}(s, s)$ هم‌توزیع با $L^{\nearrow}(s, s)$ وجود دارد که:

$$L^{\nearrow}(t, t) + \tilde{L}^{\nearrow}(s, s) \leq L^{\nearrow}(t+s, t+s)$$

و در نتیجه:

$$g(t) + g(s) \leq g(t+s) \quad (1.1)$$

به توابعی که برای هر s و t در رابطه ۱.۱ صدق می‌کنند ابرجمعی می‌گوییم.

لم ۱.۱ (فکت).^۲ فرض کنید تابع $g : (0, +\infty) \rightarrow \mathbb{R}^+$ ابرجمعی باشد و $c = \sup_t \frac{g(t)}{t}$. در این صورت:

^۲Fekete Lemma

$$c = \lim_{t \rightarrow +\infty} \frac{g(t)}{t}$$

اثبات. $t \in \mathbb{R}^+$ را ثابت بگیرید. برای هر $x \in \mathbb{R}^+$ عدد طبیعی n و عدد حقیقی $0 \leq r < t$ یافت می‌شوند که $x = nt + r$ از زیر جمعی بودن نتیجه می‌شود:

$$ng(t) + g(r) \leq g(x) \quad (2.1)$$

در نتیجه:

$$\frac{n}{nt+r}g(t) + \frac{g(r)}{x} \leq \frac{g(x)}{x}$$

و بنابراین با میل دادن x به بینهایت:

$$\frac{g(t)}{t} = \liminf_{n \rightarrow +\infty} \left(\frac{n}{nt+r}g(t) + \frac{g(r)}{x} \right) \leq \liminf_{x \rightarrow +\infty} \frac{g(x)}{x}$$

از آنجا که نامساوی بالا برای هر $t \in \mathbb{R}^+$ برقرار است:

$$\limsup_{t \rightarrow +\infty} \frac{g(t)}{t} \leq \liminf_{x \rightarrow +\infty} \frac{g(x)}{x}$$

بنابراین $\lim_{x \rightarrow +\infty} \frac{g(x)}{x}$ وجود دارد و برابر $c = \sup_t \frac{g(t)}{t}$ است.

□

از لم بالا نتیجه می‌شود $\lim_{x \rightarrow +\infty} \frac{\mathbb{E}(L_x^\nearrow)}{\sqrt{x}}$ وجود دارد. علاوه بر این با استفاده از لم فکت برای متغیرهای تصادفی [۳] می‌توان نشان داد حد $\frac{L_x^\nearrow}{\sqrt{x}}$ تقریباً به ازای هر نمونه از فرایند نقطه‌ای پواسون وجود دارد.

۲.۱. تقریب با فرایند پواسون

تاکنون دیده‌ایم $\lim_{n \rightarrow +\infty} \frac{\mathbb{E}(L_n^\nearrow)}{\sqrt{n}}$ وجود دارد. در این قسمت نشان می‌دهیم بین دو متغیر تصادفی L_n و L_n^\nearrow تفاوت زیادی نیست و می‌توان حکم بالا را برای L_n هم نشان داد.

لم ۲.۱. برای هر k و n طبیعی:

$$\mathbb{P}(L_n \leq k) \leq \mathbb{P}(L_{n-1} \leq k)$$

اثبات. نگاشت $R : S_n \rightarrow S_{n-1}$ را به این شکل تعریف می‌کنیم که ابتدا هر جایگشت در S_n را با دنباله $[\sigma(1), \sigma(2), \dots, \sigma(n)]$ نمایش می‌دهیم. حال با حذف جمله‌ای که عدد n آمده است به جایگشتی از

S_{n-1} می‌رسیم.

از آنجا که R نگاشتی n به 1 است، اندازه یکنواخت را ناوردا نگاه می‌دارد. از تعریف این نگاشت می‌توان دید

$$\forall \sigma \in S_n; \quad L_{n-1}(R(\sigma)) \leq L_n(\sigma)$$

که به راحتی لم را نتیجه می‌دهد. \square

لم ۳.۱. فرض کنید n عددی طبیعی و به اندازه کافی بزرگ باشد. k را عددی دلخواه در فاصله 1 تا n بگیرید. تعریف می‌کنیم

$$M_n = [n + \sqrt[4]{n \log n}]$$

و

$$m_n = [n - \sqrt[4]{n \log n}]$$

در این صورت ثابت c مستقل از n و k یافت می‌شود که:

$$\mathbb{P}(L_{m_n} \leq k) - \frac{c}{n^3} \leq \mathbb{P}(L_n^{\nearrow} \leq k) \leq \mathbb{P}(L_{M_n} \leq k) + \frac{c}{n^3}$$

اثبات. با شرطی کردن روی تعداد نقاط در مربع $[0, \sqrt{n}] \times [0, \sqrt{n}]$ به بسط زیر می‌رسیم:

$$\mathbb{P}(L_n^{\nearrow} \leq k) = \sum_{t=0}^{+\infty} \frac{e^{-n} n^t}{t!} \mathbb{P}(L_t \leq k) = \sum_{t=0}^{+\infty} \omega_n(t) \mathbb{P}(L_t \leq k)$$

که $\omega_n(t) = \frac{e^{-n} n^t}{t!}$ سری بالا را به شکل زیر بازنویسی می‌کنیم:

$$\sum_{t=0}^{+\infty} \omega_n(t) \mathbb{P}(L_t \leq k) = \sum_{t < n - \sqrt[4]{n \log n}} + \sum_{n - \sqrt[4]{n \log n} \leq t \leq n + \sqrt[4]{n \log n}} + \sum_{n + \sqrt[4]{n \log n} < t < 2n} + \sum_{2n \leq t} \quad (3.1)$$

ثابت می‌کنیم سهم اصلی سری بالا روی جمله دوم (t های نزدیک به n) است. برای ω_n تقریب استرلینگ استفاده می‌کنیم:

$$\omega_n(t) \sim \frac{1}{\sqrt{2\pi t}} \exp\left(-\left(n + t \log \frac{t}{n} - t\right)\right) = \frac{1}{\sqrt{2\pi t}} \exp(-f(t))$$

که $f(t) = n + t \log \frac{t}{n} - t$ با محاسباتی سراسری می‌دید که $f''(t) = \frac{1}{t}$ و در نتیجه f تابعی محدب است که علاوه بر آن چون تنها در نقطه $t = n$ صفر می‌شود، تابعی مثبت نیز هست. برای دو حالت $t > 2n$ و $t \leq 2n$ مساله را جدا جدا بررسی می‌کنیم: در حالت اول، یعنی $t > 2n$ ، می‌توان نوشت:

$$f(t) \geq f(2n) + (t - 2n)f'(2n) = n(2 \log 2 - 1) + (t - 2n) \log 2 = t \log 2 - n$$

که نشان می‌دهد برای جمله آخر سری ۳.۱ داریم:

$$\sum_{2n \leq t} \omega_n(t) \mathbb{P}(L_t \leq k) \leq \sum_{2n \leq t} \omega_n(t) \leq e^{-c_1 n}$$

که c_1 عددی مثبت و مستقل از n است.

برای $t \leq 2n$ چون مشتق دوم $f(t) - \frac{1}{4n}(t - n)^2$ بیشتر از صفر است، این تابع مثبت است و در نتیجه برای نقاطی که حداقل فاصله $4\sqrt{n \log n}$ با نقطه n دارند:

$$4 \log n \leq f(t)$$

پس:

$$\omega_n(t) \leq \exp(-f(t)) \leq \frac{c_2}{n^4}$$

که c_2 نیز عددی مثبت و مستقل از n است و مانند مرحله قبل نشان می‌دهد مجموع جملات اول و سوم در سری ۳.۱ نیز حداکثر برابر $\frac{c_2}{n^4}$ است. در نهایت تنها جمله دوم باقی می‌ماند که تعداد جملات آن $4\sqrt{n \log n} = o(n)$ است و با توجه به نزولی بودن $\mathbb{P}(L_t \leq k)$ ، طبق لم ۲.۱ حکم ثابت می‌شود. \square

نتیجه ۴.۱. با مکمل گیری داریم: $\mathbb{P}(L_t \leq k) = 1 - \mathbb{P}(L_t > k)$ و در نتیجه لم بالا را می‌توان به صورت زیر نوشت:

$$\mathbb{P}(L_{m_n} > k) + \frac{c}{n^3} \geq \mathbb{P}(L_n^{\nearrow} > k) \geq \mathbb{P}(L_{M_n} > k) - \frac{c}{n^3}$$

از آنجا که برای هر متغیر تصادفی مثبت $\mathbb{E}(X) = \sum_{k \geq 0} \mathbb{P}(X > k)$ با جمع زدن روی $k = 1, \dots, 2n$ به دست می‌آوریم:

$$\mathbb{E}(L_{m_n}) + \frac{c}{n^3} \geq \mathbb{E}(L_n^{\nearrow}) - \sum_{k \geq 2n} \mathbb{P}(L_n^{\nearrow} > k) \geq \mathbb{E}(L_{M_n}) - \frac{c}{n^3}$$

اما اگر L_n بیشتر از k باشد، باید داخل مربع $[0, \sqrt{n}] \times [0, \sqrt{n}]$ بیش از k نقطه وجود داشته باشد که این نشان می‌دهد:

$$\mathbb{P}(L_n^{\nearrow} > k) \leq \frac{e^{-n} n^k}{k!} \leq e^{-ck}$$

که نشان می‌دهد جمله $\sum_{k \geq 2n} \mathbb{P}(L_n^{\nearrow} > k)$ حداکثر به شکل e^{-cn} است و در نتیجه:

$$\lim_{n \rightarrow +\infty} \frac{\mathbb{E}(L_n)}{\sqrt{n}} = \lim_{n \rightarrow +\infty} \frac{\mathbb{E}(L_n^{\nearrow})}{\sqrt{n}}$$

۳.۱. کران‌های بالا و پایین

در بخش قبل دیدیم $c = \lim_{n \rightarrow +\infty} \frac{\mathbb{E}(L_n)}{\sqrt{n}}$ وجود دارد. در این بخش کران‌هایی برای c به دست خواهیم آورد و مشاهده می‌کنیم $c \neq 0, +\infty$. ابتدا کران پایینی برای c ارائه می‌دهیم: قضیه زیر نتیجه یکی از قضایای معروف درباره زنجیرها در یک مجموعه با ترتیب جزئی است که اثبات آن در اکثر مرجع‌های ترکیبیاتی یافت می‌شود. اثبات این قضیه را در اینجا نمی‌آوریم هرچند ایده آن در فصل بعد و معرفی فرایند هم‌زلی نمایان می‌شود.

قضیه ۵.۱ (اردوش-زاگر).^۳ فرض کنید m و n دو عدد طبیعی هستند. در این صورت هر جایگشت در S_{nm+1} یا زیردنباله صعودی به طول $n+1$ و یا زیردنباله نزولی به طول $m+1$ دارد.

با استفاده از این قضیه ثابت می‌کنیم $\frac{1}{2} \leq c$.

اگر در این قضیه m را برابر n قرار دهیم نتیجه می‌شود هر جایگشت در S_{n^2+1} یا یک زیر دنباله صعودی یا یک زیر دنباله نزولی به طول $n+1$ دارد. می‌دانیم c حد دنباله $\frac{\mathbb{E}(L_n)}{\sqrt{n}}$ است. در نتیجه با در نظر گرفتن زیر دنباله $\{n^2+1\}_{n=1}^{+\infty}$ از اعداد طبیعی

$$c = \lim_{n \rightarrow +\infty} \frac{\mathbb{E}(L_{n^2+1})}{n}$$

برای هر عدد طبیعی σ را متغیر تصادفی بزرگترین زیر دنباله نزولی $l_n(\sigma)$ بگیرد. از آنجا که با از چپ به راست نوشتن یک جایگشت، زیر دنباله‌های نزولی به صعودی تبدیل می‌شوند توزیع‌های دو متغیر تصادفی L_n و l_n یکی است و بنابراین $\mathbb{E}(L_n) = \mathbb{E}(l_n)$ و با بازنویسی قضیه ۵.۱ برای $\sigma \in S_{n^2+1}$:

$$n \leq L_{n^2+1}(\sigma) + l_{n^2+1}(\sigma)$$

پس

$$n \leq \mathbb{E}(L_{n^2+1}) + \mathbb{E}(l_{n^2+1})$$

که نتیجه می‌دهد:

$$\frac{1}{2} \leq \lim_{n \rightarrow +\infty} \frac{\mathbb{E}(L_{n^2+1})}{n}$$

بنابراین $\frac{1}{2} \leq c$

البته با استفاده از لم فکت (۱.۱) می‌توان کران پایین‌های دیگری یافت. از آنجا که هر جمله $\frac{\mathbb{E}(L_n)}{\sqrt{n}}$ یک کران پایین برای c است، با قرار دادن $n=1$ داریم $\mathbb{E}(L_1) \leq c$. ولی در مربع $[0, 1] \times [0, 1]$ به احتمال $\frac{1}{e}$ حداقل یک نقطه است و این نشان می‌دهد که:

$$\frac{1}{e} \leq c$$

^۳ Erdos - Szkeres Theorem

با استفاده از لم زیر کران بالا برای c به دست می‌آوریم:

لم ۶.۱. برای هر $k \leq n$ طبیعی:

$$\mathbb{P}(k \leq L_n) \leq \min\{1, \frac{1}{k!} \binom{n}{k}\}$$

اثبات. کافیت نشان دهیم $\mathbb{P}(k \leq L_n) \leq \frac{1}{k!} \binom{n}{k}$
اعداد

$$1 \leq i_1 < i_2 < \dots < i_k \leq n$$

را ثابت فرض کنید. بنا به تقارن احتمال این که

$$\sigma(i_1), \sigma(i_2), \dots, \sigma(i_k)$$

زیر دنباله صعودی در σ باشد $\frac{1}{k!}$ است. از طرفی به $\binom{n}{k}$ طریق می‌توان اعداد i_1, i_2, \dots, i_k را انتخاب نمود و اگر $k \leq L_n(\sigma)$ باید یکی از این زیر دنباله‌ها صعودی باشد که این حکم نتیجه می‌دهد. \square

لم ۷.۱. $c \leq e$

اثبات. اعداد e' و e'' را به صورت $e < e' < e''$ انتخاب کنید. داریم:

$$\begin{aligned} \mathbb{E}(L_n) &= \sum_{1 \leq k \leq n} \mathbb{P}(k \leq L_n) \leq \sum_{1 \leq k \leq n} \min\{1, \frac{1}{k!} \binom{n}{k}\} = \sum_{1 \leq k \leq n} \min\{1, \frac{n^k}{(k!)^2}\} = \\ &= \sum_{1 \leq k \leq e'' \sqrt{n}} 1 + \sum_{e'' \sqrt{n} < k \leq n} \frac{n^k}{(k!)^2} \end{aligned}$$

جملات مجموع اول را با ۱ تخمین می‌زنیم و در نتیجه مقدار آن از $e'' \sqrt{n}$ کمتر می‌شود. برای جملات مجموع دوم از تقریب استرلینگ استفاده می‌کنیم:

$$\frac{n^k}{(k!)^2} \leq \left(\frac{e' \sqrt{n}}{k}\right)^{2k} \leq \left(\frac{e'}{e''}\right)^{2e'' \sqrt{n}}$$

در نتیجه مجموع کل جملات سری دوم از $n \left(\frac{e'}{e''}\right)^{2e'' \sqrt{n}}$ کمتر است. از آنجا که این عدد از مرتبه $o(\sqrt{n})$ است در حد قابل چشم پوشی است. بنابراین تنها جملات سری اول اهمیت دارند که با میل دادن e'' به e حکم ثابت می‌شود. \square

۲. فرایند همرزلی

همانطور که در بخش قبل دیدیم ارتباطی هندسی بین فرایند نقطه‌ای پواسون در صفحه و مساله اولام وجود دارد. در نگاه هندسی احکامی که حدس آن‌ها در شکل جبری دشوار است، به مشاهداتی هندسی و عموماً ساده تبدیل می‌شوند. در این فصل این ارتباط را بیشتر مورد بررسی قرار می‌دهیم. یکی از ابزارهای مهم در این راه جفت‌سازی^۱ متغیرهای تصادفی مختلف روی یک فضای مشترک و یافتن نامساوی‌هایی بین آن‌هاست. در بخش اول فرایند همرزلی را بیان می‌کنیم و در بخش بعد با کمک آن اثبات نسبتاً ساده‌ای برای $c = 2$ ارائه می‌دهیم. این اثبات در سال ۱۹۹۵ توسط الدوس و دیاکونیس بیان شد.

۱.۲. معرفی فرایند همرزلی

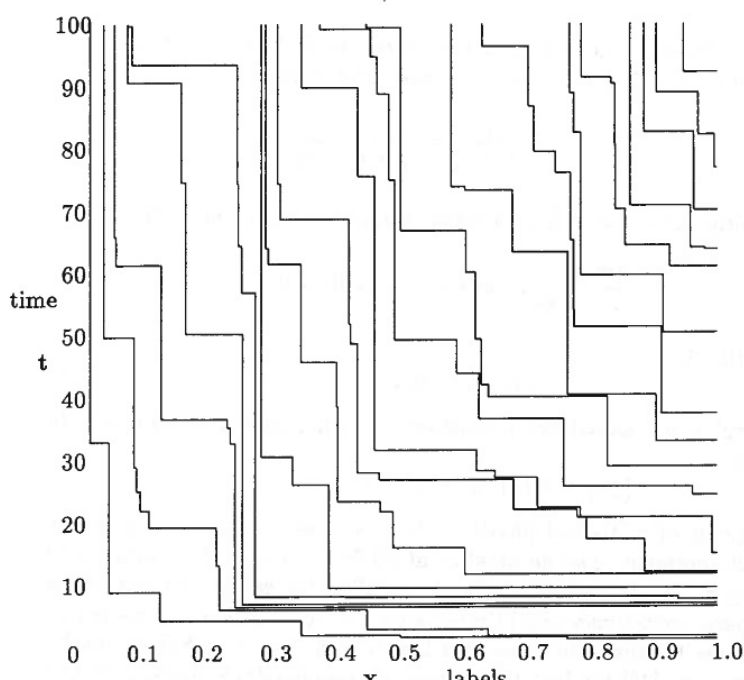
قبل از معرفی این فرایند مطالب بخش ۱.۱ را یادآوری می‌کنیم. فرض کنید \mathcal{N} یک فرایند نقطه‌ای پواسون در ربع اول صفحه و (x, t) نقطه‌ای دلخواه در این ناحیه باشد. به مستطیل $[0, x] \times [0, t]$ نگاه می‌کنیم و از بین تمام خطوط شکسته با شیب مثبت که شکستگی‌هایش نقاط فرایند نقطه‌ای باشد خطی که بیشترین نقطه را دارد پیدا می‌کنیم و $L^{\nearrow}(x, t)$ را تعداد نقاط روی آن در نظر می‌گیریم. بنابراین برای هر زوج (x, t) یک متغیر تصادفی داریم. با ثابت نگاه داشتن t ، $L^{\nearrow}(x, t)$ تابعی پله‌ای و صعودی است که می‌توان آن را با تابع شمارشی

$$N^+(\cdot, t) = L^{\nearrow}(\cdot, t)$$

روی \mathbb{R}^+ نمایش داد. متناظر با هر تابع شمارشی می‌توان یک آرایش از نقاط در نظر گرفت که محل نقاط آن برابر با مکان‌های جهش تابع شمارش است. در این صورت برای هر $x_1 < x_2$ ، $N^+(x_2, t) - N^+(x_1, t)$ تعداد نقاط در بازه $[x_1, x_2]$ را مشخص می‌کند.

با تغییر t این آرایش عوض می‌شود و آنچه برای ما اهمیت دارد نحوه تغییر آن است. فرض کنید در زمان t مختصات نقاط در بازه $[0, x]$ ، $0 < \eta_1 < \eta_2 < \dots < \eta_m < x$ باشد. اگر در ناحیه $[0, x] \times [t, t + dt]$ نقطه‌ای از فرایند پواسون \mathcal{N} قرار نگیرد این آرایش در طی این زمان عوض نمی‌شود. اما اگر در این ناحیه نقطه‌ای قرار گیرد که مولفه اول آن ϑ باشد و $\eta_i < \vartheta < \eta_{i+1}$ ، آرایش نقاط در dt لحظه بعد یعنی $t + dt$ ، $0 < \eta_1 < \dots < \eta_i < \vartheta < \eta_{i+2} < \dots < \eta_m < x$ خواهد شد. به عبارت دیگر به تصادف یک نقطه

^۱Coupling



شکل ۱.۲: توصیف هندسی فرایند همرزلی

جدید به وجود می‌آید و نزدیکترین نقطه سمت راست آن حذف می‌شود. اگر ϑ از تمام η_i ها بزرگتر باشد نقطه‌ای حذف نخواهد شد و تنها این نقطه به انتهای مجموعه نقاط اضافه می‌شود. از آنجا که امید تعداد نقاط در ناحیه $[t, t + dt] \times [x, x + dx]$ است، می‌توان تحول این نقاط را به شکل زیر بازنویسی کرد:

در لحظه شروع، $t = 0$ ، نقطه‌ای وجود ندارد. برای هر بازه $[x, x + dx]$ در بازه زمانی $[t, t + dt]$ به احتمال $dx \cdot dt$ نزدیکترین نقطه سمت راست x به نقطه x جهش می‌کند تا آرایش در زمان $t + dt$ را بسازد. این تحول از نقاط به فرایند همرزلی معروف است.

فرایند همرزلی توصیف هندسی ساده‌ای دارد: برای ساده‌گی فرض کنید متناهی نقطه به طور یکنواخت از مستطیل $[0, t] \times [0, x]$ انتخاب کردیم. تعدادی خطوط اضافه در این شکل رسم می‌کنیم: سمت چپ‌ترین نقطه را در نظر می‌گیریم و نیم خطی عمودی از آن به بالا رسم می‌کنیم. از این نقطه نیم خطی به راست رسم می‌کنیم و در نقاط زیر آن سمت چپ‌ترین نقطه را بدست می‌آوریم و آن را به نقطه قبل اضافه می‌کنیم. و این روند را ادامه می‌دهیم تا دنباله‌ای از خطوط شکسته ایجاد شود. در مرحله بعد این نقاط را حذف می‌کنیم و برای مابقی نقاط کار بالا را انجام می‌دهیم تا به شکلی مانند ۱.۲ برسیم. حال برخورد هر خطی افقی با این شکل، نقاط فرایند نقطه‌ای همرزلی را می‌دهد.

علاوه بر این می‌توان فرض کرد در زمان شروع توزیعی از نقاط مانند $n(z)$ داشته باشیم. در این صورت

تحول این فرایند به طریق زیر تعریف می‌کنیم:

$$N(x, t) = \sup_{\circ \leq z < m} (n(z) + L^{\nearrow}((z, \circ), (x, t)))$$

دو لم زیر از ناوردای بودن فرایند پواسون تحت تغییر مقیاس و قرینه‌سازی نتیجه می‌شوند:

لم ۱.۲. (ناوردایی فضا زمان): قرار دهید $\hat{L}(x, t) = L^{\nearrow}(t, x)$ آن‌گاه:

$$(\hat{L}(x, t); x, t \geq \circ) \stackrel{d}{=} (L^{\nearrow}(x, t); x, t \geq \circ)$$

لم ۲.۲. (ناوردایی مقیاس): برای هر $\circ < \kappa < \infty$ ثابت:

$$(\hat{L}(x, t); x, t \geq \circ) \stackrel{d}{=} (L^{\nearrow}(\kappa x, \frac{t}{\kappa}); x, t \geq \circ)$$

۲.۲. فرایند همرزلی در رفتارهای بزرگ

همانطور که در انتهای فصل اول اشاره کردیم $c = \lim_{x \rightarrow \infty} \frac{L^{\nearrow}(x, x)}{x^c}$ تقریباً همیشه وجود دارد. علاوه بر این از خاصیت ناوردایی مقیاس نتیجه می‌شود که $\lim_{xt \rightarrow \infty} \frac{L^{\nearrow}(x, t)}{xt}$ نیز وجود دارد و برابر c است: در انتهای این فصل قضیه زیر را ثابت خواهیم کرد:

قضیه ۳.۲. الف) $c = 2$.

ب) اگر $a > \circ$ را ثابت و t را به بی‌نهایت میل دهیم، فرایند شمارشی:

$$(L^{\nearrow}(at + y, t) - L^{\nearrow}(at, t), -\infty < y < \infty)$$

در توزیع به فرایند نقطه‌ای پواسون با نرخ $a^{-\frac{1}{2}}$ میل می‌کند.

قبل از اثبات این قضیه توجیهی برای $c = 2$ بیان می‌کنیم تا خطوط اصلی اثبات روشن شود.

فرض کنید توزیع نقاط نزدیک (x, t) نزدیک به یک فرایند نقطه‌ای پواسون باشد. با تعریف $\omega(x, t) = \mathbb{E} L^{\nearrow}(x, t)$ نرخ این فرایند در این نقطه $\frac{d\omega}{dx}$ است و در نتیجه نزدیک‌ترین نقطه سمت راست x در فاصله $\frac{1}{\frac{d\omega}{dx}}$ از آن است. در نتیجه ω در معادله دیفرانسیل پاره‌ای زیر صدق می‌کند:

$$\frac{d\omega}{dt} = \frac{1}{\frac{d\omega}{dx}}; \quad \omega(\circ, x) = \omega(t, \circ) = \circ$$

که حل آن به صورت $\omega(x, t) = 2\sqrt{xt}$ است و بنابراین $c = 2$.

فرایند همرزلی را روی \mathbb{R} نیز می‌توان گسترش داد:

تعریف ۴.۲. به یک فرایند نقطه‌ای روی \mathbb{R} همزلی می‌گوییم هرگاه تحدید آن به هر بازه $[x_1, x_2]$ تحولی به شکل زیر داشته باشد:

(الف) در زمان‌هایی سمت چپ‌ترین نقطه $[x_1, x_2]$ (در صورت وجود) حذف می‌شود.
(ب) فرایند پواسونی با نرخ $x_2 - x_1$ وجود دارد که در آن زمان‌ها نقطه‌ای به طور یکنواخت از $[x_1, x_2]$ انتخاب و به نقاط فعلی اضافه می‌شود و نقطه سمت راست آن حذف می‌شود.

قضیه ۵.۲. فرض کنید $n(z)$ آرایشی از نقاط در \mathbb{R} باشد که:

$$\liminf_{z \rightarrow -\infty} \frac{n(z)}{z} > 0.$$

در این صورت فرایند زیر یک فرایند همزلی است:

$$N(x, t) = \sup_{-\infty < z \leq x} (n(z) + L^\nearrow((z, 0), (x, t))), \quad -\infty < x \leq \infty, t \geq 0.$$

اثبات. تنها نکته‌ای که باید چک شود متناهی بودن $N(x, t)$ است که معادل است با:

$$\frac{L^\nearrow((z, 0), (x, t))}{-z} \rightarrow 0.$$

وقتی $z \rightarrow -\infty$ اما می‌دانیم

$$L^\nearrow((z, 0), (x, t)) \sim c\sqrt{t(x+z)}$$

□

در نتیجه $N(x, t)$ تقریباً همیشه متناهی است.

از این به بعد خود را محدود به فرایند همزلی از نوع بالا می‌کنیم.

تعریف ۶.۲. توزیع روی μ برای یک فرایند همزلی

(الف) ناوردا در زمان است اگر با شروع از آن، توزیع نقاط μ بماند.

(ب) تحت انتقال ناوردا است اگر با انتقال در راستای محور x ناوردا بماند.

(ج) با چگالی متناهی است اگر $\mathbb{E}|N(x, 0)| < \infty$

منظور از ν_λ فرایند نقطه‌ای پواسونی با نرخ λ است و منظور از یک ترکیب از ν_λ ها یک فرایند نقطه‌ای متناظر با اندازه احتمال ρ روی \mathbb{R} است که این فرایند به احتمال متناسب با $\rho(d\lambda)$ برابر ν_λ است. در ادامه این بخش دو لم هرچند بدون برهان می‌آوریم.

لم ۷.۲. توزیع μ برای یک فرایند همزلی ناوردا در زمان و انتقال با چگالی متناهی است اگر و تنها اگر ترکیبی از ν_λ ها باشد.

لم ۸.۲. فرض کنید \mathcal{N} یک فرایند همزلی با توزیع ناوردا ν_λ باشد. فرایند $\hat{\mathcal{N}}$ را به شکل زیر تعریف می‌کنیم:
 $\hat{\mathcal{N}}(x, t) = \text{تعداد نقاطی که از بازه } (t, \infty) \text{ در زمان } [0, x] \text{ خارج می‌شوند.}$
در این صورت $\hat{\mathcal{N}}$ فرایندی همزلی با توزیع ناوردا $\nu_{\lambda^{-1}}$ است.

۳.۲. کران بالایی

فرایند همرزلی

$$\mathcal{N}(x, t) = L^{\nearrow}(x, t)$$

حالت خاصی از فرایندهای تعریف شده در قضیه ۵.۲ است با توزیع اولیه زیر:

$$\mathcal{N}(x, \circ) = \begin{cases} \circ & x \geq \circ \\ -\infty & x < \circ \end{cases}$$

$\mathcal{N}(x, t)$ را نیز فرایندی بپذیرید با شروع ν_b که b عددی حقیقی و مثبت است. نکته مهم این است که برای هر دو فرایند $\mathcal{N}(x, t)$ و $\mathcal{N}^{\circ}(x, t)$ می‌توان از یک فرایند نقطه‌ای پواسون استفاده کرد. با توجه به این که

$$\mathcal{N}(\circ, \circ) = \mathcal{N}^{\circ}(\circ, \circ)$$

واضح است که برای هر $x, t \geq \circ$

$$\mathcal{N}(x, t) \leq \mathcal{N}^{\circ}(x, t)$$

. در نتیجه:

$$\begin{aligned} \mathbb{E}\mathcal{N}(x, t) &\leq \mathbb{E}\mathcal{N}^{\circ}(x, t) \\ &= \mathbb{E}\mathcal{N}^{\circ}(x, \circ) + (\mathbb{E}\mathcal{N}^{\circ}(x, t) - \mathcal{N}^{\circ}(x, \circ)) \\ &= bx + (\mathbb{E}\mathcal{N}^{\circ}(x, t) - \mathcal{N}^{\circ}(x, \circ)) \end{aligned}$$

زیرا $\mathcal{N}^{\circ}(\circ, \circ)$ فرایندی پواسون با نرخ b است. لم ۸.۲ نتیجه می‌دهد:

$$\mathcal{N}^{\circ}(x, t) - \mathcal{N}^{\circ}(x, \circ)$$

فرایندی همرزلی با شروع ν_{b-1} است. از آنجا که نامساوی بالا برای هر b برقرار است با مینیمم کردن روی b داریم:

$$\mathcal{N}(x, t) \leq 2\sqrt{xt}$$

پس:

$$c \leq 2$$

۴.۲. محاسبه حد

برای به دست آوردن کران پایین جفت سازی های دیگری بین متغیر تصادفی ها تعریف می کنیم.

تعریف ۹.۲. برای دو آرایش نقاط η_1 و η_2 می نویسیم

$$\eta_1 \subseteq \eta_2$$

هرگاه هر نسخه از η_1 زیر مجموعه η_2 باشد و می نویسیم

$$\eta_1 \subseteq_{st} \eta_2$$

اگر بتوان $\eta_i \stackrel{d}{=} \eta'_i$ یافت ($i = 1, 2$) که

$$\eta'_1 \subseteq \eta'_2$$

$\mathcal{N}^+(s, t) = L^\nearrow((\cdot, \cdot), (s, t))$ را فرایند همزلی دلخواه بگیرید. توجه کنید که این فرایند در شروع نقطه ای قرار ندارد و طبیعتاً با اضافه کردن نقطه این فرایند مقدار بزرگتری می شود. لم زیر از این مشاهده به دست می آید:

لم ۱۰.۲. الف) برای هر $t, t_0 \geq 0$

$$\mathcal{N}^+(\cdot, t) \subseteq_{st} \mathcal{N}^+(\cdot, t + t_0)$$

ب) برای هر $t, z \geq 0$

$$\mathcal{N}^+(\cdot, t) \supseteq_{st} \mathcal{N}^+(\cdot + z, t)$$

از فصل ۱ به یاد آورید که

$$g(x) = \mathbb{E} L^\nearrow(x, x)$$

همانطور که دیدیم $\lim_{x \rightarrow \infty} \frac{g(x)}{x}$ وجود دارد. با لم بالا نتیجه قوی تری هم می توان ثابت کرد:

لم ۱۱.۲.

$$g'(x) \rightarrow c$$

وقتی $x \rightarrow \infty$

اثبات. لم قبل نتیجه می دهد برای هر $x, x_0, t, t_0 > 0$:

$$\mathbb{E} \mathcal{N}^+(x + x_0, t) - \mathbb{E} \mathcal{N}^+(x, t) \leq \mathbb{E} \mathcal{N}^+(x + x_0, t + t_0) - \mathbb{E} \mathcal{N}^+(x, t + t_0)$$

اما به علت ناوردایی مقیاس

$$\mathbb{E}\mathcal{N}^+(x, t) = g(\sqrt{xt})$$

در نتیجه نامساوی بالا می‌توان به صورت زیر نوشت:

$$g(\sqrt{(x+x_0)t}) - g(\sqrt{xt}) \leq g(\sqrt{(x+x_0)(t+t_0)}) - g(\sqrt{x(t+t_0)})$$

که با تقسیم بر xt و حدگیری $x \rightarrow x_0, t \rightarrow t_0$:

$$\frac{d}{dx} \frac{d}{dt} g(\sqrt{xt}) \geq 0$$

و یا برای $z > z_0$ ،

$$g'(z) + zg''(z) \geq 0$$

این نامساوی معادل صعودی بودن تابع $z \rightarrow zg'(z)$ است. بنابراین برای هر عدد ثابت z_0 :

$$g'(z) \geq \frac{g'(z_0)z_0}{z}; \quad z > z_0$$

اکنون بازه $[z_1, z_1 + z_2]$ را در نظر بگیرید. با زیر جمعی بودن:

$$g(z_1 + z_2) - g(z_1) \geq g(z_2)$$

بنابراین عدد $z_0 \in [z_1, z_1 + z_2]$ وجود دارد که:

$$\begin{aligned} g'(z_0) &\geq \frac{g'(z_2)}{z_2} \Rightarrow \\ g'(z_1 + z_2) &\geq \frac{g'(z_0)z_0}{z_1 + z_2} \geq \frac{g'(z_2)z_1}{z_1(z_1 + z_2)} \end{aligned}$$

و بنابراین با قرار دادن $z_2 = \sqrt{z}$ و $z_1 = z - z_2$ به کران پایین

$$\liminf_z g'(z) \geq c$$

می‌رسیم. برای به دست آوردن کران بالا انتگرال می‌گیریم:

$$g(z) - g(z_0) \geq z_0 g'(z_0) \log(z/z_0); \quad z > z_0$$

و با قرار دادن $z = (1 + \delta)z_0$ در نامساوی $g(z) \leq cz$

$$g'(z_0) \leq \frac{c(1 + \delta) - \frac{g(z_0)}{z_0}}{\log(1 + \delta)}$$

پس

$$\limsup_z g'(z) \leq \frac{c\delta}{\log(1+\delta)}$$

□

و اگر $\delta \downarrow 0$ لم اثبات می شود.

لم ۱۲.۲. با ثابت نگه داشتن x و $-\infty < u < \infty$:

$$\mathbb{E}\mathcal{N}^+(t+x, t+u) - \mathbb{E}\mathcal{N}^+(t, t) \rightarrow \frac{1}{\sqrt{t}}c(x+u)$$

اثبات.

$$\mathbb{E}\mathcal{N}^+(t+x, t+u) - \mathbb{E}\mathcal{N}^+(t, t) \rightarrow g(\sqrt{(t+x)(t+u)}) - g(t)$$

اما $\sqrt{(t+x)(t+u)} - t \rightarrow \frac{1}{\sqrt{t}}c(x+u)$ و لم اثبات می شود.

در ادامه قضیه اصلی این بخش را ثابت می کنیم. $t > 0$ ، μ_t را توزیع $\mathcal{N}^+(0+t, t)$ می گیریم. از لم نتیجه می گیریم دنباله μ_t تنگ^۲ است. علاوه بر این اثبات این موضوع سخت نیست که اگر توزیع μ وجود داشته باشد که $t_j \rightarrow 0$ و $\mu_{t_j} \rightarrow \mu$ ، آن گاه μ برای فرایند همرزلی ناورداست.

□

برهان قضیه ۳.۲: از تایت بودن μ_t ها نتیجه می شود زیر دنباله ای از آن به اندازه ناوردای μ میل می کند و در نتیجه با لم ۷.۲ ترکیبی از اندازه های ν_λ با چگالی احتمال تابعی مانند Λ است. حال از تقارن فضا زمان فرایند همرزلی (لم ۱۰.۱ و ۱۰.۲) و این که μ_t حد توزیع های $\mathcal{N}^+(0+t, t)$ است نتیجه می شود اگر فرایندی همرزلی را از شروع μ کنیم این اندازه ای برای آن ناورداست. در نتیجه با لم ۲.۸:

$$\Lambda \stackrel{d}{=} \Lambda^{-1}$$

اما .

$$1 = \mathbb{E}(\Lambda\Lambda^{-1}) \leq (\mathbb{E}\Lambda)(\mathbb{E}\Lambda^{-1}) = (\mathbb{E}\Lambda)^2$$

پس $\mathbb{E}\Lambda \geq 1$ حال داریم:

$$\begin{aligned} 2u\mathbb{E}\Lambda &= \mathbb{E}(N(2u, 0) - N(0, 0)) \\ &\leq \liminf_j \mathbb{E}(\mathcal{N}^+(2u+t, t) - \mathcal{N}^+(t, t)) \leq cu \end{aligned}$$

پس $\mathbb{E}\Lambda \geq 2$ و چون $\mathbb{E}\Lambda \geq 1$ این نشان می دهد $c \geq 2$ اما دیدیم $c \leq 2$ پس

$$c = 2$$

tight^۲

. علاوه بر این $\mathbb{E}\Lambda = 1$ نتیجه می‌دهد

$$\mathbb{P}(\Lambda = 1) = 1$$

. بنابراین هر زیر دنباله μ_t به طور ضعیف به ν_1 میل می‌کند. تتنگ بودن μ_t ها نشان می‌دهد

$$\mu_t \rightarrow \nu_1$$

که قضیه را برای $a = 1$ ثابت می‌کند و از خاصیت ناوردایی مقیاس برای هر a اثبات می‌شود.

۳. قانون حدی نمودار یانگ

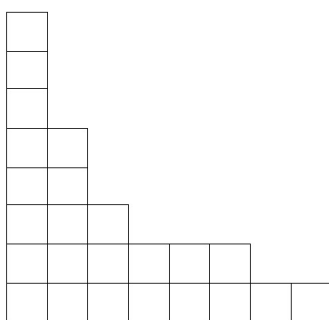
از نظر تاریخی مساله اولام اولین بار به عنوان حالت خاصی از یک مساله کلی‌تر توسط ورشیک و کروو اثبات شد. این مساله کلی، شکل حدی نمایش‌های گروه جایگشتی است که در حدود سال‌های ۱۹۷۰ میلادی یکی از مسایل داغ نظریه نمایش بود. در این فصل قصد داریم اثبات ساده شده آن‌ها را بیاوریم و ارتباط آن را با مساله اولام بیان کنیم. در نهایت با ابزارهای جبری دو قضیه ثابت خواهیم کرد که تشابه زیادی با قوانین اعداد بزرگ در احتمالات دارد.

۱.۳. نمودار یانگ

یک عدد طبیعی مانند n را به نحوه‌های مختلفی به صورت حاصل‌جمعی از اعداد طبیعی می‌توان نوشت. هر یک از این نحوه‌ها که اصطلاحاً افرازهای عدد n گفته می‌شوند، معادل نمایش آن به شکل:

$$n = a_1 + 2a_2 + \dots + na_n$$

است که a_1, a_2, \dots, a_n اعدادی صحیح و نامنفی هستند. مرسوم است که چنین افزاری را با $(1^{a_1}, 2^{a_2}, \dots, n^{a_n})$ نشان دهند. برای درک بهتر این افراز می‌توان آن را با نموداری که از کنار هم گذاشتن a_n ستون n تایی، a_{n-1} ستون $n-1$ تایی، \dots و a_1 ستون ۱ تایی است، نمایش داد. شکل ۱.۳ این نمودار را برای یک افراز عدد ۲۴



شکل ۱.۳: نمودار یانگ افراز $(1^2, 2^2, 3^1, 4^1, 5^1)$

نشان می‌دهد. به نمودار بالا نمایش فرانسوی افراز می‌گویند. نمایش‌های روسی و انگلیسی به ترتیب از دوران ۴۵ و ۹۰ درجه این نمودار در جهت عقربه‌های ساعت به دست می‌آیند.

تعریف ۱.۳. مجموعه نمودارهایی که از افراز عدد n به دست می‌آیند را با \mathbb{Y}_n و مجموعه تمام آن‌ها به ازای اعداد مختلف را با \mathbb{Y} نشان می‌دهیم و به هر یک از آن‌ها نمودار یانگ می‌گوییم. یک مربع در نمودار یانگ گوشه‌ای نامیده می‌شود اگر سمت راست و بالای آن مربع دیگری نباشد.

از آن‌جا که با اضافه کردن یک مربع به یک نمودار یانگ عدد n ، نمودار یانگی از عدد $n+1$ ساخته می‌شود، تعداد نمودارهای یانگ رشدی صعودی بر حسب n دارد. اگرچه فرمول ساده‌ای برای تعداد دقیق آن‌ها وجود ندارد، رامنوجان^۱ و هاردی^۲ در ۱۹۱۸ توانستند تقریبی از مرتبه آن ارائه دهند:

$$P(n) \sim \frac{1}{4n\sqrt{3}} e^{\pi\sqrt{2n/3}}$$

افرازهای اعداد طبیعی در زمینه‌های مختلفی از ریاضیات ظاهر می‌شوند. یکی از آن‌ها نمایش‌های گروه تقارنی S_n است. در نظریه نمایش نشان داده می‌شود تعداد نمایش‌های تحویل‌ناپذیر یک گروه برابر کلاس‌های تزویجی آن است (برای بررسی اجمالی نظریه نمایش می‌توانید به ضمیمه مراجعه کنید). در نتیجه در گروه تقارنی که کلاس‌های تزویجی با تجزیه دوری جایگشت‌ها مشخص می‌شوند، تعداد نمایش‌های تحویل‌ناپذیر S_n و افرازهای عدد n یکی می‌شود. نکته جالب وجود تناظری طبیعی بین این دو مجموعه است. به بیان دیگر متناظر هر نمودار یانگ λ ، نمایش تحویل‌ناپذیر (U_λ, S_λ) داریم که S_λ یک فضای برداری روی \mathbb{C} و U_λ تابع نمایش است. از این نکته استفاده می‌کنیم و به نمودار λ وزنی بر حسب $\dim(S_\lambda)$ نسبت می‌دهیم. از نظریه نمایش می‌دانیم جمع مربعات این اعداد برابر اندازه گروه S_n است،

$$\sum_{\lambda} \dim(S_\lambda)^2 = n!$$

در نتیجه می‌توانیم به نمودار λ اندازه احتمال $\frac{\dim(S_\lambda)^2}{n!}$ را نسبت دهیم و با آن شکل حدی نمودارهای یانگ را به دست آوریم. در قسمت‌های بعدی ارتباط این وزن‌دهی و مساله اولام را مشخص می‌کنیم.

۲.۳. نمایش‌های تحویل‌ناپذیر گروه جایگشتی

در این قسمت سعی می‌کنیم تناظر بین نمایش‌های تحویل‌ناپذیر S_n و نمودارهای یانگ را شرح دهیم. برای این کار نیاز به ارائه مجموعه‌ای داریم که گروه S_n روی آن عمل کند. یکی از بهترین‌ترین مثال‌ها، تابع‌های n متغیره هستند. هر عضو $\sigma \in S_n$ روی یک تابع n متغیره $F(x_1, \dots, x_n)$ به شکل زیر عمل می‌کند:

$$(\sigma.F)(x_1, \dots, x_n) = F(x_{\sigma(1)}, \dots, x_{\sigma(n)})$$

S.Ramanujan^۱

G.H.Hardy^۲

و در نتیجه با در نظر گرفتن تمام توابع، نمایشی از S_n به دست می‌آوریم. علاوه بر این هر زیر مجموعه‌ای از توابع که تحت جا به جا کردن متغیرهایش ناورداد باشد، مانند چند جمله‌ای‌های n متغیره، نمایشی از S_n به دست خواهد داد.

تعریف ۲.۳. برای نمودار یانگ λ مجموعه توابع یک به یک و پوشا از خانه‌های λ به $\{1, \dots, n\}$ را با نمایش می‌دهیم. به بیان دیگر $Tab(\lambda)$ نحوه‌های مختلف نوشتن اعداد ۱ تا n در خانه‌های λ است.

برای هر $T \in Tab(\lambda)$ ، $T(i, j)$ را عدد خانه (i, j) قرار دهید. گروه S_n روی $Tab(\lambda)$ به صورت طبیعی عمل می‌کند:

$$\begin{cases} T \in Tab(\lambda) \\ \sigma \in S(n) \end{cases} \quad (\sigma.T)(i, j) = \sigma(T(i, j))$$

برای هر عضو $T \in Tab(\lambda)$ چند جمله‌ای $\Delta(T)$ را به صورت زیر تعریف می‌کنیم:

$$\Delta(T) = \prod_{a=1}^{col(\lambda)} \prod_{1 \leq i < j \leq \lambda_a} (x_{T(a,i)} - x_{T(a,j)})$$

که در آن‌ها $col(\lambda)$ تعداد ستون‌های λ و λ_a اندازه ستون a است. اگر S_λ را فضای برداری تولید شده توسط تمام $\Delta(T)$ روی \mathbb{C} بگیرید یک نمایش (U_λ, S_λ) از S_n خواهیم داشت. این نمایش تحویل‌ناپذیر است و تمام نمایش‌های S_n به این صورت هستند. برای درک بهتر این موضوع آن را برای $n = 3$ نشان می‌دهیم. در این حالت سه نمودار شکل ۲.۳ را داریم.

برای λ_1 هر $\Delta(T)$ برابر یک است و در نتیجه $(S_{\lambda_1}, U_{\lambda_1})$ نمایش یک بعدی (بدیهی) S_3 است. برای λ_3 هر $\Delta(T)$ برابر یکی از اعداد $\pm(x_1 - x_2)(x_2 - x_3)(x_1 - x_3)$ است. علامت \pm بسته به نحوه عدد گذاری اعداد در λ_3 است. می‌توان به راحتی دید که $(S_{\lambda_3}, U_{\lambda_3})$ نمایش یک بعدی است که به هر $\sigma \in S_3$ علامت آن را نسبت می‌دهد. اما نمایش $(S_{\lambda_2}, U_{\lambda_2})$ کمی پیچیده‌تر است. در این حالت $\Delta(T)$ می‌تواند یکی از اعضای مجموعه $\{\pm(x_1 - x_2), \pm(x_2 - x_3), \pm(x_1 - x_3)\}$ باشد. اما $x_1 - x_3$ از جمع $x_1 - x_2$ و $x_2 - x_3$ به دست می‌آید. پس S_{λ_2} یک فضای برداری دو بعدی است، $S_{\lambda_2} = \langle x_1 - x_2, x_2 - x_3 \rangle$. متناظر هر $\sigma \in S_3$ یک تبدیل خطی روی این فضا به دست می‌آید که با محاسباتی سراسری می‌توان آن را به دست آورد. در شکل ۲.۳ این تناظر آمده است.

تعریف ۳.۳. یک $T \in Tab(\lambda)$ را نمودار یانگ استاندارد می‌نامیم، هرگاه اعداد $T(i, j)$ با ثابت نگاه داشتن i یا j نسبت به مولفه دیگر صعودی باشد. مجموعه نمودارهای یانگ استاندارد را با $STab(\lambda)$ نشان می‌دهیم و تعریف می‌کنیم:

$$f^\lambda = |STab(\lambda)|$$

تعریف ۴.۳. فرض کنید $\lambda \in \mathbb{Y}_n$ و $\square_1, \square_2, \dots, \square_q$ مربع‌های گوشه‌ای آن باشند. (i_k, j_k) را مولفه‌های مربع \square_k و V_k را زیر فضایی که با $\Delta(T)$ هابی که در مربع \square_k عدد n نوشته شده است بگیرید. تعریف

$$\lambda_1 = \begin{array}{|c|c|c|} \hline & & \\ \hline \end{array} \quad \lambda_2 = \begin{array}{|c|c|} \hline & \\ \hline & \\ \hline \end{array} \quad \lambda_3 = \begin{array}{|c|} \hline \\ \hline \\ \hline \\ \hline \end{array}$$

شکل ۲.۳: نمودارهای یانگ برای $n = 3$

$$\begin{aligned} id &\rightarrow \begin{bmatrix} 1 & 0 \\ 0 & 1 \end{bmatrix} & (1, 2) &\rightarrow \begin{bmatrix} -1 & 0 \\ 1 & 1 \end{bmatrix} \\ (1, 2, 3) &\rightarrow \begin{bmatrix} -1 & -1 \\ 1 & 0 \end{bmatrix} & (2, 3) &\rightarrow \begin{bmatrix} 1 & 1 \\ 0 & -1 \end{bmatrix} \\ (1, 3, 2) &\rightarrow \begin{bmatrix} 0 & 1 \\ 1 & -1 \end{bmatrix} & (1, 3) &\rightarrow \begin{bmatrix} 0 & -1 \\ -1 & 0 \end{bmatrix} \end{aligned}$$

شکل ۳.۳: نمایش گروه S_3

می‌کنیم: $\tilde{V}_k = V_k + \dots + V_q$. برای هر $k, q = 1, 2, \dots, k$ ، $\lambda^{(q)}$ را نمودار $\lambda - \square_k$ می‌گیریم و برای دو نمودار یانگ λ و Λ نماد $\lambda \nearrow \Lambda$ به معنای این است که نمودار λ از حذف یک مربع گوشه‌ای Λ به دست آمده است.

قضیه ۵.۳. مجموعه $\{\Delta(T) \mid T \in STab(\lambda)\}$ یک پایه برای S_λ می‌سازند و در نتیجه $\dim(S_\lambda) = f^\lambda$.
اثبات. طرحی از اثبات ارایه می‌دهیم: استقلال (با استقرا روی $|\lambda|$): با مقایسه توان x^n در چند جمله‌ای‌ها می‌توان دید V_i ‌ها مستقل هستند. حال برای هر یک از V_i ‌ها می‌توانیم از فرصت استقرا استفاده کنیم. مولد بودن: کافیت نشان دهیم هر $\Delta(T)$ که $T \in Tab(\lambda)$ را می‌توان به شکل جمعی از $\Delta(T)$ ‌ها که $T \in STab(\lambda)$ نوشت. این کار را می‌توان استقرایی انجام دهیم: با جابجا کردن عدد n در سطر و ستون λ آن را به یک مربع گوشه‌ای λ برد. همین کار را برای با فرض استقرا برای اعداد کوچکتر انجام می‌دهیم. \square

تعریف ۶.۳. عضو $J_{n-1} \in \mathbb{C}[S_n]$ که به صورت زیر تعریف می‌شود

$$J_{n-1} = (1, n) + (2, n) + \dots + (n-1, n)$$

جسیس-مورفی^۳ خوانده می شود. برای هر $\lambda \in \mathbb{Y}_n$ ، عملگر جسیس-مورفی نامیده می شود.

لم ۷.۳. فرض کنید $\lambda \in \mathbb{Y}_n$ و عدد n در مربع گوشه‌ای \square_k آن باشد. در این صورت:

$$U_\lambda(J_{n-1})\Delta(S) = (j_k - i_k)\Delta(S) + v, \quad v \in \tilde{V}_{k+1}$$

این لم اثباتی ترکیبیاتی دارد که در اینجا از اثبات آن صرف نظر می کنیم.

نتیجه ۸.۳. مقادیر ویژه $U_\lambda(J_{n-1})$ اعداد

$$j_1 - i_1, j_2 - i_2, \dots, j_k - i_k$$

با تکرار (به ترتیب)

$$\dim(\lambda^{(1)}), \dim(\lambda^{(2)}), \dots, \dim(\lambda^{(k)})$$

هستند.

با داشتن نمودار یانگ $\Lambda \in Y_n$ به دست آوردن تعداد نمودارهای یانگ استاندارد با شکل Λ یک مساله ترکیبیاتی است که به صورت استقرایی می توان آن را حل کرد. با توجه به این که بزرگترین عدد، n ، تنها می تواند در مربع های گوشه ای باشد، رابطه بازگشتی زیر به دست می آید:

$$f^\Lambda = \sum_{\lambda \nearrow \Lambda} f^\lambda$$

تعریف ۹.۳. برای درایه $\square_{(a,b)} \in \Lambda$ اندازه هوک $h_{(a,b)}$ را برابر با تعداد مربع های سمت راست و بالای این مربع به علاوه یک قرار می دهیم. به عنوان مثال برای مربع های گوشه ای اندازه هوک برابر یک و برای مربع $\square_{(1,1)}$ اندازه هوک برابر ۱ است. $row(\Lambda) + col(\Lambda) - 1$

قضیه ۱۰.۳. فرمول هوک (شکل اول):

$$f^\Lambda = \frac{n!}{\prod_{(a,b) \in \Lambda} h_{(a,b)}}$$

که این فرمول را با اندکی محاسبات جبری به شکل زیر نیز می توان باز نویسی کرد:

قضیه ۱۱.۳. فرمول هوک (شکل دوم): فرض کنید l_i اندازه هوک درایه $(i, 1)$ باشد. (به بیان دیگر $l_i = \Lambda_i + row(\Lambda) - i$ آن گاه:

$$f^\Lambda = n! \frac{\prod_{1 \leq j < i \leq row(\Lambda)} (l_j - l_k)}{\prod_{j=1}^{row(\Lambda)} l_j!}$$

elements Jucys—Murphy^۳

اثبات. با استقرا روی n . $n = 1$ بدیهی است و فرض کنید این فرمول برای تمام نمودارهای با اندازه n درست است. همچنین فرض کنید $\Lambda \in \mathbb{Y}_n$ یک نمودار یانگ دلخواه است که مربع‌های گوشه‌ای آن $\square_1, \square_2, \dots, \square_q$ با مولفه‌های (x_i, y_i) هستند. در این صورت با جای‌گذاری در رابطه بازگشتی و ساده‌سازی عبارت حاصل، باید نشان داد جملات زیر برابر n است:

$$\sum_{i=1}^k \frac{\prod_{j < x_i} (l_j - l_{x_i} + 1) \prod_{j > x_i} (l_{x_i} - l_j + 1)}{\prod_{j < x_i} (l_j - l_{x_i}) \prod_{j > x_i} (l_{x_i} - l_j)} l_{x_i}$$

$$= \sum_{i=1}^k \frac{\prod_{j=1}^k l_j - l_{x_i} + 1}{(l_{x_i} - l_1) \cdots (l_{x_i} - l_{x_i}) \cdots (l_{x_i} - l_k)} l_{x_i}$$

که علامت $\widehat{}$ به معنای حذف آن جمله است. اثبات می‌کنیم سری آخر برابر $1 + l_k + \cdots + l_2 + l_1$ است و از تعریف l_i ها به دست می‌آید که این حاصل جمع برابر n است. ادعای اخیر را می‌توان با بررسی ضریب جمله خطی اتحاد زیر به دست آورد: (برای اثبات اتحاد $x = l_j$ قرار دهید).

$$x = \sum_{j=1}^k l_j \frac{\prod_{i=1}^k (x - l_i)}{\prod_{i=1, i \neq j}^k (l_j - l_i)}$$

□

۳.۳. الگوریتم رابینسون-شنستد

در سال ۱۹۳۸ رابینسون^۴ الگوریتمی معرفی کرد که تناظری یک به یک و پوشا بین جایگشت‌های S_n و زوج نمودارهای استاندارد یانگ برقرار می‌کرد. این الگوریتم اثباتی غیر جبری برای تساوی $\sum_{\lambda} \dim(S_{\lambda})^2 = n!$ ارائه می‌دهد. بعدها شنستد^۵ آن را برای مجموعه وسیع‌تری گسترش داد و اکنون این الگوریتم به نام هر دوی آنها معروف است. یکی از نتایج الگوریتم این است که نشان می‌دهد مساله اولام حالت خاصی از مساله شکل حدی نمودارهای یانگ است. برای شرح الگوریتم نیاز به دو تعریف زیر داریم:

تعریف ۱۲.۳. یک تابلوی یانگ، یک نمودار یانگ عدد گذاری شده است که عددهای آن در امتداد سطرها و ستون‌ها صعودی باشند. اعداد داخل هر مربع دلخواه ولی طبیعی هستند. نمودارهای استاندارد یانگ حالتی خاص از تابلوهای یانگ هستند. شکل ۲.۳ یک تابلوی یانگ عدد گذاری شده است.

Robinson^۴
Schensted^۵

| | | | |
|---|---|---|---|
| ۷ | | | |
| ۲ | ۸ | | |
| ۱ | ۳ | ۵ | ۹ |

شکل ۴.۳: تابلو یانگ قبل از الحاق ۴

| | | | |
|---|---|---|---|
| ۱ | ۸ | | |
| ۲ | ۵ | | |
| ۱ | ۳ | ۴ | ۹ |

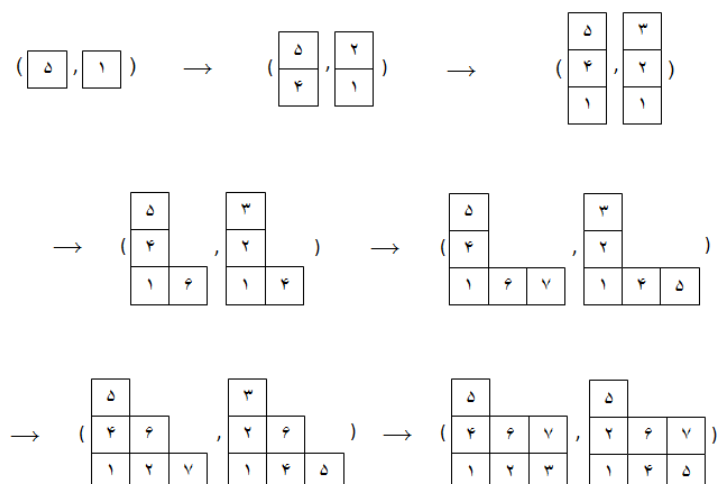
شکل ۵.۳: تابلو یانگ بعد از الحاق ۴

تعریف ۱۳.۳. فرض کنید T یک تابلوی یانگ و x عددی طبیعی باشد که در این نمودار نیامده است. منظور از الحاق x به T تابلوی جدیدی است که با انجام فرایند زیر به دست می‌آید:

به سطر اول T نگاه می‌کنیم، اگر تمام اعداد این سطر از x کوچکتر بودند یک مربع به انتهای این سطر اضافه می‌کنیم، عدد x را در آن می‌نویسیم و کار تمام می‌شود. در غیر این صورت کوچکترین عدد بیشتر از x در سطر اول را پیدا می‌کنیم (فرض کنید این عدد y است) و عدد x را به جای آن قرار می‌دهیم. حال به سراغ سطر بعدی می‌رویم و همین عملیات را برای سطر دوم و عدد y (به جای x) انجام می‌دهیم و دوباره اگر به عدد z رسیدیم به سراغ سطر سوم می‌رویم و . . . به عنوان مثال با در نظر گرفتن تابلوی ۳.۳ و الحاق عدد ۴ به آن، به تابلوی ۳.۳ می‌رسیم.

می‌توان نشان داد نمودار جدید همواره یک تابلوی یانگ می‌شود که نمودار آن از اضافه کردن یک مربع به نمودار قبل به دست می‌آید. اعداد نوشته شده در خانه‌های آن نیز اعداد قبلی و عدد x است. هرچند نحوه قرار گرفتن این اعداد در خانه‌ها بسته به مقدار آنها دستخوش تغییر می‌شود.

حال می‌توانیم الگوریتم رابینسون-شنستد را شرح دهیم: فرض کنید $\sigma \in S_n$ یک جایگشت دلخواه باشد. دو نمودار استاندارد یانگ P و Q را به صورت استقرایی می‌سازیم: در ابتدا فرض کنید هر دو نمودار تهی‌اند ($P_0, Q_0 = \emptyset$) و همچنین فرض کنید در مرحله k ام به دو تابلوی P_k و Q_k برسیم که نمودار هر دو یکی است. با الحاق $\sigma(k+1)$ به P_k, P_{k+1} را می‌سازیم. نمودار P_{k+1} نسبت به Q_k یک خانه اضافه دارد. Q_{k+1} را تابلویی در نظر می‌گیریم که از اضافه کردن این خانه و نوشتن عدد $k+1$ در آن به دست می‌آید. در انتها قرار می‌دهیم $P = P_n$ و $Q = Q_n$. در شکل ۳.۳ این الگوریتم را برای جایگشت $(5, 4, 1, 6, 7, 2, 3)$ انجام داده‌ایم و



شکل ۶.۳: الگوریتم رابینسون-شنسند روی جایگشت $(5, 4, 1, 6, 7, 2, 3)$

نمودار (P_k, Q_k) را در هر مرحله رسم کردیم.

جایگشت $\sigma \in S_n$ را می‌توان با علامت گذاری نقاط $(k, \sigma(k))$ در \mathbb{Z}^2 نشان داد که در این صورت برای الگوریتم رابینسون-شنسند می‌توان بیان هندسی ارائه داد. احکام زیر در این بیان هندسی دیده می‌شوند:
 الف) اگر زوج (P, Q) متناظر جایگشت σ باشد، زوج (Q, P) متناظر σ^{-1} است و در نتیجه جایگشت‌های خود توان (یعنی $\sigma \in S_n$ هایی که $\sigma^2 = id$) متناظر زوج‌های (P, P) هستند و تعداد آن‌ها برابر $\sum_{\lambda \in \mathbb{Y}_n} \dim(\lambda)$ است.

ب) ترانهاده یک جایگشت $\sigma = (x_1, x_2, \dots, x_n)$ جایگشتی است به شکل $\sigma^* = (x_n, \dots, x_2, x_1)$ و ترانهاده یک تابلوی یانگ T تابلویی مانند T^* است که از قرینه کردن آن حول نیمساز محورهای مختصات به دست می‌آید. در این صورت: $P(\sigma^*) = P(\sigma)^*$

ج) طول بزرگترین زیر دنباله صعودی σ برابر طول سطر اول P است.

حکم اخیر را به این علت که در این پایان‌نامه اهمیت زیادی دارد مستقیماً اثبات می‌کنیم.

اثبات. فرض کنید $x_{i_1}, x_{i_2}, \dots, x_{i_{L_n(\sigma)}}$ زیر دنباله صعودی $\sigma = (x_1, x_2, \dots, x_n)$ باشد. در این صورت هیچ یک از x_{i_j} ها نمی‌توانند در یک ستون $P(\sigma)$ قرار گیرند. زیرا اگر در ستونی مانند a چند عدد از x_{i_j} ها قرار گیرد و x_{i_s} پایین‌ترین عدد باشد، در مرحله‌ای که x_{i_s} به نمودار اضافه می‌شود چون پایین‌ترین عدد ستون a از x_{i_s} کوچکتر است عدد جدید باید به انتهای نمودار اضافه شود که ستونی غیر از a است و این تناقض است. در نتیجه $L_n(\sigma)$ حداکثر برابر سطر اول است.

باید نشان دهیم حداقل یک زیر دنباله صعودی به طول سطر اول P است. این حکم را در حالت کلی که σ

صرفاً دنباله‌ای از اعداد متمایز است اثبات می‌کنیم و روی تعداد اعداد σ استقرای قوی می‌زنیم. منتها قبل از آن توصیفی از اعداد ستون آخر P ارایه می‌دهیم: این اعداد اعضای σ هستند که هیچ عددی بزرگتر در سمت راست آن‌ها نیست. علت این موضوع روشن است. زیر اگر عضوی بزرگتر در سمت راستشان باشد هنگام الحاق آن باید به ستون بعدی برویم که تناقض است و از طرف دیگر اگر چنین عددی در σ باشد، آنگاه الحاق هر عددی بعد از الحاق این عضو در جایگاهی در ستون‌ها کوچکتر جا می‌گیرد. حال اعداد ستون آخر P را از σ کم کنید. با الگوریتم رایینسن-شنستد روی این مجموعه جدید به تابلوی P که ستون آخرش کم شده می‌رسیم و طبق فرض استقرا زیر دنباله‌ی صعودی با یک واحد کمتر از سطر P می‌یابیم. اگر به عضو آخر این دنباله در σ نگاه کنید حتماً عددی بزرگتر از آن در سمت راست آن خواهید یافت (چون در ستون آخر نیست و نشان دادیم هر عضو غیر ستون آخر اینگونه است). که در نتیجه با در نظر گرفتن آن طول زیر دنباله صعودی برابر سطر P خواهد شد. \square

حال جایگشت σ را به طور یکنواخت از بین تمام جایگشت‌های S_n انتخاب کنید و با استفاده از الگوریتم بالا از روی آن زوج (P, Q) را به دست آورید و تابعی که به σ نمودار P را نسبت می‌دهد (که با نمودار Q یکی است) در نظر بگیرید. احتمال این که با این نگاشت به نمودار λ برسیم $\frac{\dim(\lambda)^2}{n!}$ است و این همان وزنی است که قبلاً روی نمودارهای یانگ قرار دادیم. در نتیجه گزاره آخر نشان می‌دهد اگر نمودارهای یانگ حد داشته باشند، توزیع طول ستون اول آن برابر توزیع طول بزرگترین زیر دنباله صعودی در یک جایگشت تصادفی است.

۴.۳. توابع شکسته و قضیه اثر

این بخش حلقه اصلی بین نمودارهای یانگ و وزن روی آن‌هاست و از این جهت قضیه‌ای که در پایان بیان می‌کنیم در روند اثبات قضیه اصلی این فصل اهمیت اساسی دارد.

تعریف ۱۴.۳. یک تابع حقیقی λ شکسته خوانده می‌شود هرگاه:

$$۱. \lambda(x) \text{ پیوسته است و قطعه قطعه خطی}$$

$$۲. \lambda'(x) = \pm ۱ \text{ مگر در تعداد متناهی } x \in \mathbb{R}$$

$$۳. \text{ برای } |x| \text{ به اندازه کافی بزرگ } \lambda(x) = |x|$$

\mathfrak{A} را مجموعه تمام توابع شکسته قرار دهید. در این صورت با دوران ۴۵ درجه هر نمودار یانگ می‌توان آن را به شکل یک تابع شکسته نگاه کرد. یک راه ساده‌تر برای معرفی یک عضو \mathfrak{A} معرفی نقاط مینیم یا ماکزیمم موضعی آن است. تعداد این نقاط متناهی است و در نتیجه با مرتب کردن آنها به شکل $x_1 < y_1 < \dots < x_r < y_{r-1} < x_{r-1} < y_r$ که x_i ها مینیم موضعی و y_i ها ماکزیمم موضعی‌اند، یک مختصات روی اعضای \mathfrak{A} به دست می‌آید.

لم ۱۵.۳. برای هر λ اگر $x_1 < y_1 < \dots < x_{r-1} < y_{r-1} < x_r$ ماکزیمم و مینیممهای موضعی باشند:

$$\sum_{i=1}^r x_i = \sum_{i=1}^{r-1} y_i$$

اثبات. پاره خطی که مبدا را به نقطه (x_r, x_r) وصل می کند در نظر بگیرید. از یک طرف طول آن $\sqrt{2} x_r$ است و از طرف دیگر با افکنش هر یک از پاره خطهای موازی خط $y = x$ روی آن، تعدادی پاره خط جدید به دست می آیند که این پاره خط را افزاز می کنند. از آنجا که طول پاره خط های جدید $\sqrt{2} (x_i - y_i)$ است داریم:

$$\sqrt{2} x_r = \sum_{i=1}^{r-1} \sqrt{2} (y_i - x_i) \Rightarrow \sum_{i=1}^r x_i = \sum_{i=1}^{r-1} y_i$$

□

نتیجه ۱۶.۳. یک نمودار یانگ دوران یافته در \mathbb{Z} قرار دارد اگر و تنها اگر x_i و y_i متناظر آن اعداد به شکل $\frac{\sqrt{2}}{4}n$ ، $n \in \mathbb{Z}$ باشند و در رابطه بالا صدق کنند.

در ادامه این بخش به هر عضو $\lambda \in \mathbb{Z}$ دو توزیع روی \mathbb{R} نسبت می دهیم. توزیع اول به اندازه رله^{*} معروف است و به شکل زیر تعریف می شود:

$$\tau_\lambda = \sum_{i=1}^r \delta_{x_i} - \sum_{i=1}^{r-1} \delta_{y_i}$$

روشن است که نگاشت $\lambda \rightarrow \tau_\lambda$ به یک به یک است.

قضیه ۱۷.۳. فرض کنید $\lambda \in \mathbb{Z}$. در این صورت اگر $M_k(\tau_\lambda)$ گشتاور k ام τ_λ باشد، داریم:

$$M_k(\tau_\lambda) = \int_{-\infty}^{+\infty} x^k \left(\frac{\lambda(x) - |x|}{2} \right)'' dx$$

که در اینجا مشتق گیری در معنای توزیع گرفته شده است.

اثبات. با توجه به این که λ موضعا خطی است:

$$\tau_\lambda = \left(\frac{\lambda(x) - |x|}{2} \right)'' + \delta_0$$

□

که با جای گذاری به فرمول بالا می رسیم.

measure Rayleigh^{*}

اندازه دومی که برای هر $\lambda \in \mathfrak{A}$ تعریف می‌کنیم به شرح زیر است. دوباره فرض کنید x_i و y_i ها اکستریم‌های نسی نمودار λ باشند. تابع گویای زیر را تشکیل می‌دهیم:

$$\frac{(z - y_1) \cdots (z - y_{r-1})}{(z - x_1) \cdots (z - x_r)}$$

با بسط صورت و تجزیه به عوامل مخرج تابع بالا را می‌توان به صورت زیر نوشت:

$$\frac{(z - y_1) \cdots (z - y_{r-1})}{(z - x_1) \cdots (z - x_r)} = \frac{\mu_1}{z - x_1} + \cdots + \frac{\mu_r}{z - x_r}$$

که، $\mu_i = \frac{(x_i - y_1) \cdots (x_i - y_{r-1})}{(x_i - x_1) \cdots (x_i - x_{i-1})(x_i - x_{i+1}) \cdots (x_i - x_r)}$ در نتیجه $\mu_i > 0$ و اگر دو طرف تساوی (۱) را در z ضرب کنیم و z را به بی نهایت میل دهیم خواهیم داشت: $\sum_{i=1}^r \mu_i = 1$. حال اندازه انتقالی m_λ را به صورت زیر تعریف می‌کنیم:

$$m_\lambda = \sum_{i=1}^r \mu_i \delta_{x_i}$$

دو اندازه τ_λ و m_λ از روی همدیگر به دست می‌آیند. گزاره زیر گشتاورهای آنها را به یکدیگر ربط می‌دهد.

قضیه ۱۸.۳.

$$\sum_{n=1}^{\infty} \frac{M_n(m_\lambda)}{z^n} = \exp \left\{ \sum_{n=1}^{\infty} \frac{M_n(\tau_\lambda)}{n} \frac{1}{z^n} \right\}$$

که دو طرف سری برای $|z|$ به اندازه کافی بزرگ همگراست.

اثبات. اگر $x_1 < y_1 < \cdots < x_{r-1} < y_{r-1} < x_r$ اکستریم‌های λ باشند، داریم:

$$\begin{aligned} \sum_{n=1}^{\infty} \frac{M_n(m_\lambda)}{z^n} &= \sum_{n=1}^{\infty} \left(\sum_{i=1}^r \mu_i \frac{x_i^n}{z^n} \right) = \sum_{n=1}^{\infty} \mu_i \left(\sum_{i=1}^r \left(\frac{x_i}{z} \right)^n \right) = \\ &= \sum_{i=1}^r \mu_i \cdot \frac{1}{1 - \frac{x_i}{z}} = \frac{(1 - \frac{y_1}{z}) \cdots (1 - \frac{y_{r-1}}{z})}{(1 - \frac{x_1}{z}) \cdots (1 - \frac{x_r}{z})} \\ &= \exp \left\{ \sum_{i=1}^{r-1} \log \left(1 - \frac{y_i}{z} \right) - \sum_{i=1}^r \log \left(1 - \frac{x_i}{z} \right) \right\} \\ &= \exp \left\{ \sum_{n=1}^{\infty} \frac{1}{n} \left(\sum_{i=1}^r x_i^n - \sum_{i=1}^{r-1} y_i^n \right) \frac{1}{z^n} \right\} \\ &= \exp \left\{ \sum_{n=1}^{\infty} \frac{M_n(\tau_\lambda)}{n} \frac{1}{z^n} \right\} \end{aligned}$$

□

. به عنوان مثال با بررسی ظریب $\frac{1}{z}$ و $\frac{1}{z^2}$ داریم:

$$M_1(m_\lambda) = M_1(\tau_\lambda) = \circ$$

$$M_2(m_\lambda) = \frac{1}{2}(M_1(\tau_\lambda)^2 + M_2(\tau_\lambda)) = |\lambda|$$

تا به اینجا به هر عضو $\lambda \in \mathfrak{A}$ و در حالت خاص هر $\lambda \in \mathbb{Y}$ دو اندازه τ_λ و m_λ نسبت دادیم. اما مشخص نیست این اندازه ها چه ارتباطی به نمایش متناظر S_λ از S_n دارند. قضیه ای که بیان خواهیم کرد نشان می دهد این اعداد از روی مشخصه های نمایش به دست می آیند. قبل از بیان آن مقدماتی نیاز داریم. فرض کنید $\mathbb{E}_n : \mathbb{C}[S_{n+1}] \rightarrow \mathbb{C}[S_n]$ تابع خطی باشد که از گسترش زیر به دست می آید:

$$\mathbb{E}_n(g) = \begin{cases} g & g \in S_n \\ \circ & g \notin S_n \end{cases}$$

به دست می آید. $J_n \in \mathbb{C}[S_{n+1}]$ را نیز عضو جیسس-مورفی بگیرید. از آنجا که J_n با هر عضو $\mathbb{C}[S_n]$ جابه جا می شود، برای هر k ، $\mathbb{E}_n(J_n^k)$ عنصری در $Z(\mathbb{C}[S_n])$ است. می دانیم تمام نمایش های S_n در نمایش $\mathbb{C}[S_n]$ وجود دارند. بنابراین می توان نوشت:

$$\mathbb{C}[S_n] = \bigoplus_{\lambda \in \mathbb{Y}_n} \text{End}(V_\lambda)$$

به همین شکل:

$$\mathbb{C}[S_{n+1}] = \bigoplus_{\lambda \in \mathbb{Y}_{n+1}} \text{End}(V_\lambda)$$

برای هر $a \in \mathbb{C}[S_n]$ ، $tr_\lambda(a)$ را اثر عملگر a روی نمایش متناظر λ قرار دهید. برای هر $a \in \mathbb{C}[S_n]$ ، L_a را عملگر ضرب کردن از چپ روی $\mathbb{C}[S_n]$ بگیرید.

قضیه ۱۹.۳. (اثر): برای هر $a \in \mathbb{C}[S_n]$ داریم:

$$tr_\lambda(\mathbb{E}_n(J_n^k)) = \dim(\lambda) M_k(m_\lambda)$$

اثبات. فرض کنید $e_\lambda \in \mathbb{C}[S_n]$ عضوی باشد که L_{e_λ} روی V_λ همانی و روی V_μ برای $\mu \neq \lambda$ صفر باشد. اثر عملگر $\mathbb{E}_n(J_n^k)e_\lambda$ روی $\mathbb{C}[S_n]$ برابر است با:

$$\dim(\lambda).tr_\lambda(\mathbb{E}_n(J_n^k))$$

از طرف دیگر اگر برای $a \in \mathbb{C}[S_n]$ ضریب عنصر همانی S_n را در بسط a نشان دهد به راحتی دیده می شود $tr(L_a) = n! (a)_e$. در نتیجه: $tr_\lambda(\mathbb{E}_n(J_n^k)e_\lambda) = n! (\mathbb{E}_n(J_n^k)e_\lambda)_e$ از آنجا که $e_\lambda \in \mathbb{C}[S_n]$ ، بنابراین $\mathbb{E}_n(J_n^k)e_\lambda = \mathbb{E}_n(J_n^k e_\lambda)$ ،

$$(\mathbb{E}_n(J_n^k)e_\lambda)_e = (\mathbb{E}_n(J_n^k e_\lambda))_e = (J_n^k e_\lambda)_e$$

بنابراین باید ضریب e را در بسط $J_n^k e_\lambda$ در $\mathbb{C}[S_{n+1}]$ به دست آوریم. از آنجا که e_λ تنها روی V_Λ هایی که $\Lambda \nearrow \lambda$ ناصفر است (و روی آنها همانی است.) داریم:

$$(J_n^k e_\lambda)_e = \frac{tr_{\mathbb{C}[S_{n+1}]}(L_{J_n^k e_\lambda})}{(n+1)!} = \frac{1}{(n+1)!} \sum_{\lambda \nearrow \Lambda} \dim(\Lambda) tr_\Lambda(J_n^k)$$

در نتیجه با جای‌گذاری تساوی های بالا داریم:

$$\begin{aligned} tr_\lambda(E(J_n^k)) &= \frac{n!}{\dim(\lambda)} \left[\frac{1}{(n+1)!} \sum_{\lambda \nearrow \Lambda} \dim(\Lambda) tr_\Lambda(J_n^k) \right] \\ &= \frac{1}{\dim(\lambda)(n+1)} \sum_{\lambda \nearrow \Lambda} \dim(\Lambda) tr_\Lambda(J_n^k) \\ &= \sum_{\lambda \nearrow \Lambda} \frac{\dim(\Lambda)}{(n+1) \dim(\lambda)} tr_\Lambda(J_n^k) \end{aligned}$$

فرض کنید $x_1 < y_1 < \dots < x_{r-1} < y_{r-1} < x_r$ نقاط اکسترمم تابع شکسته λ باشند و Λ^s نمودار یانگی باشد که از قرار دادن یک مربع در نقطه متناظر x_s به دست می‌آید. در این صورت از لم (۵.۲.۳) J_n^k روی Λ^s به صورت x_s^k در ماتریس همانی است. در نتیجه: $tr_{\Lambda^s}(J_n^k) = x_s^k \cdot \dim(\lambda)$ و بنابراین:

$$tr_{\Lambda^s}(E(J_n^k)) = \sum_{\lambda \nearrow \Lambda^s} \frac{\dim(\Lambda^s)}{(n+1) \dim(\lambda)} x_s^k \cdot \dim(\lambda)$$

لم زیر اثبات قضیه را کامل می‌کند.

□

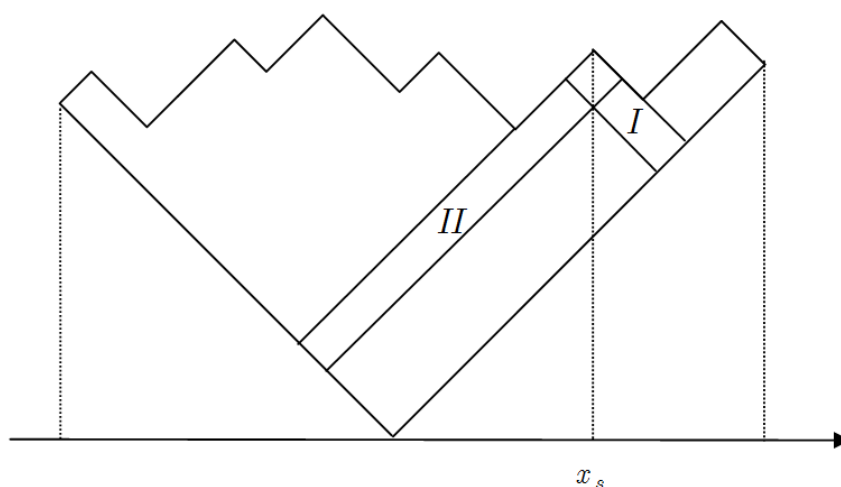
لم ۲۰.۳. با نمادهای بالا

$$\frac{\dim(\Lambda^s)}{(n+1) \dim(\lambda)} = m_\lambda(\{x_s\})$$

اثبات. با استفاده از فرمول هوک ۱۱.۳ سعی می‌کنیم طرف چپ را ساده کنیم. فرض کنید Λ^s از قرار دادن یک مربع در s امین مینیم نمودار λ به دست آید. (شکل ۴.۳) بنابراین خواهیم داشت:

$$\frac{\dim(\Lambda)}{(n+1) \dim(\lambda)} = \frac{\prod_{b \in \lambda} h_\lambda(b)}{\prod_{b \in \Lambda^s} h_{\Lambda^s}(b)}$$

تعداد زیادی از جملات حاصلضرب طرف راست با یکدیگر ساده می‌شوند و تنها جملات نظیر نقاط



I و II باقی می‌مانند که نشان می‌دهد:

$$\frac{\prod_{b \in \lambda} h_{\lambda}(b)}{\prod_{b \in \Lambda^s} h_{\Lambda^s}(b)} = \frac{\prod_{b \in I_1} h_{\lambda}(b)}{\prod_{b \in I_1} h_{\Lambda^s}(b)} \cdot \frac{\prod_{b \in I_2} h_{\lambda}(b)}{\prod_{b \in I_2} h_{\Lambda^s}(b)} = \left(\frac{x_s - y_1}{x_s - x_1} \dots \frac{x_s - y_{s-1}}{x_s - x_{s-1}} \right) \left(\frac{x_s - y_s}{x_s - x_s} \dots \frac{x_s - y_{r-1}}{x_s - x_{r-1}} \right)$$

$$= m_{\lambda}(\{x_s\})$$

□

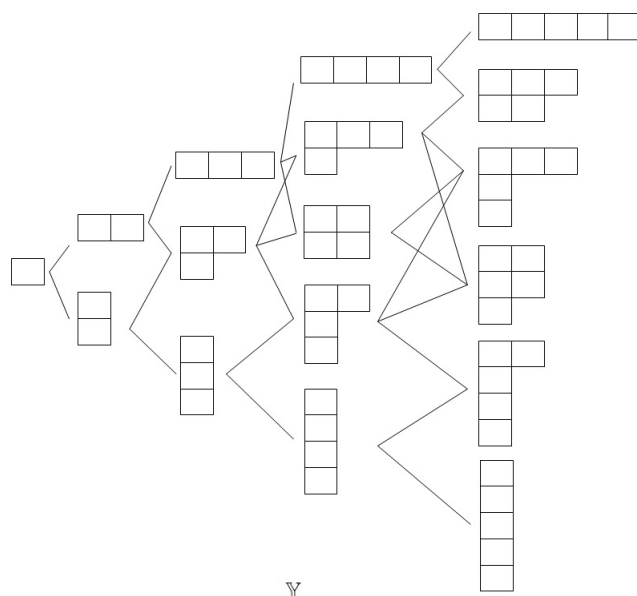
۵.۳. نحوه حدگیری نمودارهای یانگ

تاکنون به بررسی یک نمودار یانگ به تنهایی پرداختیم. اما آنچه برای بیان جملاتی نظیر "شکل حدی نمودار های یانگ" نیاز داریم ساختن یک فضای احتمال روی دنباله نمودارهای یانگ است، مانند آنچه در بیان قانون قوی اعداد بزرگ انجام می‌شود. در این قسمت سعی داریم مشابه این کار را برای نمودارهای یانگ پیاده‌سازی کنیم. در شکل بعدی نمودارهای یانگ بر حسب اندازه آنها مرتب شده‌اند. فرض کنید Γ مجموعه مسیرهایی روی این شکل باشند که اندازه آنها در هر مرحله یک واحد زیاد می‌شود. یک عضو Γ نمایشی به صورت زیر دارد:

$$t = (\emptyset = t(\circ) \nearrow t(1) \nearrow \dots \nearrow t(n) \nearrow \dots)$$

که $t(n) \in \Gamma_n$ برای هر دنباله متناهی $u = (\emptyset = \lambda^{\circ} \nearrow \lambda^1 \nearrow \dots \nearrow \lambda^n)$ C_u را به شکل زیر تعریف می‌کنیم:

$$C_u = \{t \in \Gamma \mid t(i) = \lambda^i, i = \circ, 1, \dots, n\}$$



شکل ۷.۳: درخت یانگ

Γ را به فضای فضای احتمالی با σ -میدان تولید شده توسط C_u ها و اندازه احتمال $\mathbb{P}(C_u) = \frac{\dim(\lambda^n)}{n!}$ تبدیل می‌کنیم. سازگاری این اندازه احتمال‌ها از تساوی $\sum_{\lambda^n \nearrow \Lambda} \frac{\dim(\lambda^n)}{(n+1)!} = \frac{\dim(\Lambda)}{n!}$ به دست می‌آید. (لم ۲۰.۳) در نتیجه با قضایای توسیع می‌توان این اندازه را روی σ -میدان تولید شده با C_u ها گسترش داد. به اندازه گسترش یافته، اندازه پلانچرال^۷ می‌گویند. نکته قابل توجه این است که با تعریف متغیر تصادفی X_n به شکل $X_n(t) = t(n)$ داریم: $\mathbb{P}(X_n = \lambda^n) = \frac{\dim(\lambda^n)}{n!}$ و این همان چیزی است که برای نشان دادن قضایای حدی نیاز داریم. (شکل ۷.۳)

۶.۳. نمودارهای پیوسته و توپولوژی روی نمودارهای یانگ

در این قسمت توابع پیوسته‌ای که از حدگیری توابع شکسته به دست می‌آید را تعریف می‌کنیم. این به ما کمک می‌کند بتوانیم حد نمودارهای یانگ را که شکل پیوسته‌ای دارد در یک مجموعه بزرگ‌تر بررسی کنیم. سپس اندازه‌های ريله و انتقالی را روی توابع گسترش می‌دهیم.

تعریف ۲۱.۳. به یک تابع حقیقی ω نمودار پیوسته می‌گوییم اگر:

$$|\omega(x) - \omega(y)| \leq |x - y| \quad (۱) \text{ برای هر } x, y \in \mathbb{R}$$

$$\omega(x) = |x| \text{ اگر } |x| \text{ به اندازه کافی بزرگ باشد.} \quad (۲)$$

مجموعه نمودارهای پیوسته را با \mathcal{M} نشان می‌دهیم.

^۷measure Plancherel

با استفاده از تعریف بدیهی است که: $\mathbb{Y} \subset \mathbb{A} \subset \mathbb{M}$ با تقریب نمودارهای شکسته دو اندازه ريله و انتقالی را می توان به نمودارهای پیوسته گسترش داد. برای $K > 0$ قرار می دهیم:

$$\mathbb{M}_K = \{\omega \in D \mid \omega(x) = |x|, |x| > K\}$$

و هر نمودار پیوسته در \mathbb{M} از جایی به بعد درون \mathbb{M}_K ها قرار می گیرد. حال فرض کنید $\omega \in \mathbb{M}_K$ دنباله $\omega_n \in \mathbb{M}_K \cap \mathbb{A}$ را می توان ساخت که با نرم یکنواخت به ω نزدیک شود. (زیرا کافیت ابتدا ω را با یک تابع قطعه قطعه خطی تقریب بزنیم و سپس چون شیب این قطعات از یک کمتر است، این توابع را با اعضای \mathbb{A} تقریب بزنیم.) توابع $\frac{\omega_n(x)-|x|}{2}$ و $\frac{\omega(x)-|x|}{2}$ تقریباً همه جا مشتق پذیر با مشتق کران دار و محمل فشرده هستند. ادعا می کنیم برای هر تابع پیوسته $f \in C[K, -K]$ داریم:

$$\lim_{n \rightarrow \infty} \int_{-\infty}^{+\infty} f(x) \left(\frac{\omega_n(x) - |x|}{2} \right)' dx = \int_{-\infty}^{+\infty} f(x) \left(\frac{\omega(x) - |x|}{2} \right)' dx$$

در واقع با انتگرال گیری جزء به جزء تساوی بالا برای توابع $f(x) = x^k$ برقرار است. (معادلا دنباله $\{M_k(\tau_{\omega_n}) : n = 1, 2, \dots\}$ همگراست.) و در نتیجه با جمع آنها، این تساوی برای چندجمله ای ها ثابت می شود. حال کافیت به این نکته توجه کنید که چندجمله ای ها در $C[K, -K]$ چگال هستند. با استفاده از قضیه ۱۸.۳ از این که دنباله $\{M_k(\tau_{\omega_n}) : n = 1, 2, \dots\}$ همگراست می توان نتیجه گرفت دنباله $\{M_k(m_{\omega_n}) : n = 1, 2, \dots\}$ نیز همگراست. و در نتیجه دوباره با تقریب چندجمله ای ها دنباله

$$\left\{ \int_{-K}^{+K} f(x) m_{\omega_n}(dx) : n = 1, 2, \dots \right\}$$

برای توابع پیوسته در بازه $[K, -K]$ همگراست. این کلید گسترش اندازه انتقالی روی نمودارهای پیوسته است. قرار می دهیم $M(f) = \lim_{n \rightarrow \infty} \int_{-K}^{+K} f(x) m_{\omega_n}(dx)$ می توان دید که M به دنباله خاص $\{\omega_n : n = 1, 2, \dots\}$ بستگی ندارد و در نتیجه یک تابع خطی روی توابع $C[K, -K]$ تعریف می کند. از آنجا نرم M کران دار است قضیه نمایش ریس در مورد توابع پیوسته وجود اندازه احتمال یکتای μ با محمل روی $[K, -K]$ را تضمین می کند که:

$$M(f) = \int_{-K}^{+K} f(x) \mu(dx)$$

به وضوح μ مستقل از K است. (مشروط بر این که محمل $\omega(x) - |x|$ حداقل شامل $[-K, K]$ شود.)
 $\mu = m_\omega$ را اندازه گسترش یافته انتقالی برای $\omega \in \mathbb{M}$ در نظر می گیریم.

مثال ۲۲.۳. فرض کنید $a > 0$ و نمودار ω به شکل زیر تعریف شده باشد

$$\omega(x) = \begin{cases} a & |x| \leq a \\ |x| & |x| \geq a \end{cases}$$

ω را می توان با توابع شکسته ω_n که نقاط ماکزیمم $\{-a + \frac{2a}{n}i : i = 0, 1, \dots, n\}$ و مینیمم $\{-a + \frac{2a}{n}i + \frac{a}{n} : i = 0, 1, \dots, n-1\}$ است تقریب زد. با محاسبه حد و استفاده از فرمول استرلینگ مشاهده می کنیم:

$$\tau_\omega = \frac{\delta_{-a} + \delta_a}{2}, \quad m_\omega = \frac{1}{\pi\sqrt{a^2 - x^2}}$$

مثال ۲۳.۳. فرض کنید تابع $\Omega \in \mathcal{M}$ به این گونه تعریف شده باشد:

$$\Omega(x) = \begin{cases} \frac{2}{\pi}(x \arcsin \frac{x}{2} + \sqrt{4 - x^2}) & |x| \leq 2 \\ |x| & |x| > 2 \end{cases}$$

در قسمت های بعد خواهیم دید این همان تابع حدی نمودار های یانگ است. محمل توزیع های τ_Ω و m_Ω در بازه $[-2, 2]$ است و روی این بازه برابرند با:

$$\frac{d\tau_\Omega}{dx} = \frac{1}{\pi\sqrt{4 - x^2}}$$

$$\frac{dm_\Omega}{dx} = \frac{1}{2\pi}\sqrt{4 - x^2}$$

و گشتاورهای توزیع m_Ω برابرند با:

$$M_k(\tau_\Omega) = \begin{cases} \binom{2p}{p} & k = 2p, \quad p \in \mathbb{N} \\ 0 & \text{وگرنه} \end{cases}$$

روی نمودارهای پیوسته می توان دو توپولوژی گذاشت. توپولوژی اول با متر یکنواخت به دست می آید که به شکل زیر تعریف می شود:

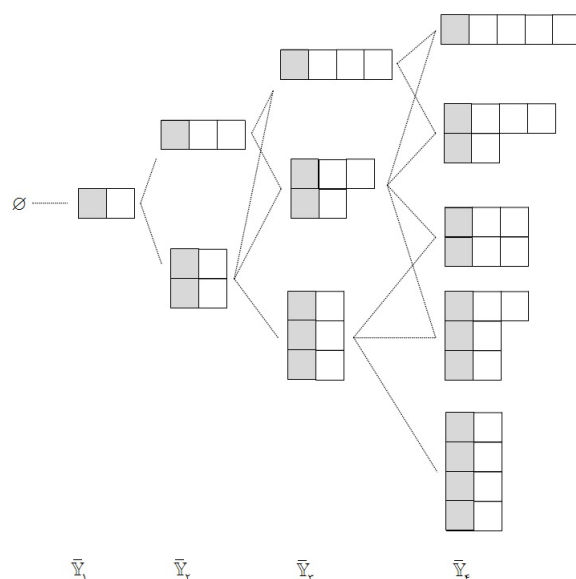
$$d(\omega_1, \omega_2) = \sup_{x \in \mathbb{R}} |\omega_1(x) - \omega_2(x)|$$

و توپولوژی دوم کوچکترین توپولوژی است که با شبه مترهای زیر به دست آید:

$$d_k(\omega_1, \omega_2) = |M_k(m_{\omega_1}) - M_k(m_{\omega_2})|, \quad k = 1, 2, \dots$$

گزاره زیر را می توان با تقریب توابع پیوسته با چند جمله ای ها اثبات کرد.

قضیه ۲۴.۳. فرض کنید $K > 0$ عددی ثابت است. دو توپولوژی بالا روی \mathcal{M}_K یکی هستند.



شکل ۸.۳: نمودارهای $\bar{\mathbb{Y}}$

۷.۳. جایگشت‌های مجموعه نامتناهی

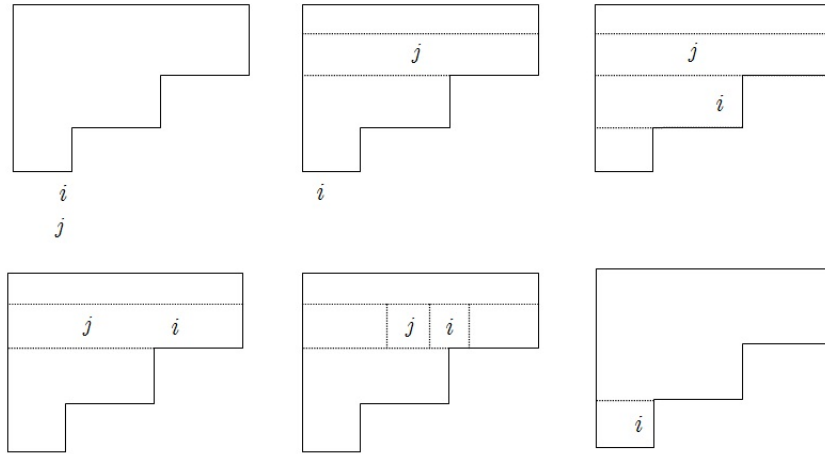
S_∞ را جایگشت‌هایی روی اعداد طبیعی در نظر می‌گیریم که فقط جایگاه متناهی عدد را عوض می‌کنند. این مجموعه با عمل ترکیب جایگشت‌ها یک گروه می‌شود و اعضای آن در تناظر با $\bigcup_{n=1}^{\infty} S_n$ هستند. گروه‌های تزویجی S_∞ را می‌توان همچنان با نمودارهای یانگ نمایش داد اما چون هر عضو از جایی به بعد همانی است، گروه دوری متناظر آن نامتناهی دور یک عضوی دارد. به همین دلیل مناسب‌تر است دوره‌های یک عضوی را حذف کنیم و مابقی را با یک نمودار یانگ نشان دهیم. بنابراین گروه‌های تزویجی را با نمودارهای یانگ بدون ستون‌های یک خانه‌ای نشان می‌دهیم و نماد $\bar{\mathbb{Y}}$ را برای آن‌ها به کار می‌بریم:

$$\bar{\mathbb{Y}} = \{\rho \in \mathbb{Y} : m_1(\rho) = 0\}$$

فرض کنید $l(\rho)$ نشان دهنده حداقل تعداد ترانهشت‌هایی است که برای ساخت جایگشت $\sigma \in S_\infty$ با نمودار ρ لازم است. از آنجا که برای به دست آوردن دوره‌های به طول k ، $k-1$ ترانهشت نیاز داریم:

$$l(\rho) = |\rho| - \text{row}(\rho)$$

نمودارهای $\bar{\mathbb{Y}}$ را می‌توانیم در یک جدول نشان دهیم طوری که نمودارهای با l برابر در یک ردیف قرار گیرند. (شکل ۸.۳) توجه کنید که $l(\rho) = l(\rho')$ لزوماً نتیجه نمی‌دهد $|\rho| = |\rho'|$ و از این رو این جدول با جدولی که برای \mathbb{Y} ساختیم متفاوت است. با حذف دوره‌های به طول یک، هر $\sigma \in S_n$ نموداری در $\bar{\mathbb{Y}}$ دارد که با



شکل ۹.۳: حالت‌های مختلف قرار گرفتن دو عدد در تابلوی یانگ

$\rho = type(\sigma)$ نشان می‌دهیم. دو نمودار $\rho, \rho' \in \bar{Y}$ را با یک خط به یکدیگر وصل می‌کنیم اگر دو جایگشت σ و σ' پیدا شوند که $\rho = type(\sigma)$ و $\rho' = type(\sigma')$ و σ, σ' با ترکیب یک ترانهشت از روی یکدیگر به دست آید.

قضیه ۲۵.۳. فرض کنید $x, (i, j) \in S_n$ و $\rho = type(x)$ و $\rho' = type((i, j)x)$. در این صورت یا $l(\rho') = l(\rho) + 1$ و یا $l(\rho') = l(\rho) - 1$.

اثبات. دورهای بزرگتر از یک جایگشت x می‌تواند صفر، یک و یا دو تا از i و j را داشته باشد. بسته به این موضوع و این که این دو عضو در کجای جایگشت آمده باشند می‌توان نمودار ρ' را تعیین کرد. در شکل ۹.۳ تمام ۶ حالت رسم شده است. در سه حالت بالا $l(\rho')$ یک واحد زیاد می‌شود و در سه حالت پایین یک واحد کم می‌شود. در قضیه قبل به حالت‌هایی که یک واحد زیاد می‌شود بالا و به حالات دیگر پایین می‌گوییم.

□

۸.۳. گشتاورهای جیسیس-مورفی

در این قسمت علاقمند هستیم گشتاورهای جیسیس-مورفی را حساب کنیم. با بسط زیر شروع می‌کنیم:

$$J_n^k = \sum_{i_1, \dots, i_k \in \{1, \dots, n\}} (i_k, n+1) \cdots (i_2, n+1)(i_1, n+1)$$

به دنباله (i_1, i_2, \dots, i_k) دسترس‌پذیر می‌گوییم هرگاه $(i_k, n+1) \cdots (i_1, n+1) \in S_n$. به هر مسیر

$$e \rightarrow (i_1, n+1) \rightarrow \cdots \rightarrow (i_k, n+1) \cdots (i_1, n+1)$$

در گراف کیلی S_{n+1} مسیر

$$\emptyset \rightarrow \rho_1 \rightarrow \dots \rightarrow \rho_k$$

را در $\bar{\mathbb{Y}}$ نظیر می‌کنیم که

$$\rho_j = \text{type}((i_j, n+1) \cdots (i_1, n+1))$$

$$l(\rho_{j+1}) = l(\rho_j) \pm 1 \text{ که توجه کنید}$$

تعریف ۲۶.۳. قرار می‌دهیم

$$\bar{\mathbb{Y}}_k = \bar{\mathbb{Y}} \cap \mathbb{Y}_k = \{\sigma \in \mathbb{Y} : m_1(\sigma) = \circ, |\sigma| = k\}$$

برای $\sigma \in \bar{\mathbb{Y}}$ ، σ° نموداری است که با حذف ستون اول و مربع‌های تکی باقیمانده آن به دست می‌آید.

لم ۲۷.۳. فرض کنید $\rho \in \bar{\mathbb{Y}}$ و $k = 1, 2, \dots$ سه شرط زیر معادل هستند:

(۱) عدد طبیعی n و دنباله دسترس‌پذیر i_1, i_2, \dots, i_k وجود دارد که:

$$\rho = \text{type}((i_k, n+1) \cdots (i_1, n+1))$$

$$|\rho| + \text{row}(\rho) \leq k \text{ و } l(\rho) \equiv k \pmod{2} \quad (۲)$$

$$\rho = \sigma^\circ, \sigma^\circ \in \bar{\mathbb{Y}}_k \quad (۳)$$

اثبات. تعداد بارهای که l یک واحد زیاد می‌شود را u و بارهایی که یک واحد کم می‌شود را d بنامید. در نتیجه $u + d = k$ و $u - d = l(\rho)$:

$$u = \frac{k + l(\rho)}{2}, \quad d = \frac{k - l(\rho)}{2}$$

اما از آن‌جا که تنها در حالتی سطرهای نمودار بیشتر می‌شود که l یک واحد کم شود (به قضیه ۲۵.۳ نگاه بیندازید):

$$\begin{aligned} \text{row}(\rho) \leq d = \frac{k - l(\rho)}{2} &\Rightarrow \\ k \geq l(\rho) + 2\text{row}(\rho) = |\rho| + \text{row}(\rho) \end{aligned}$$

که به این شکل از گزاره ۱ به ۲ می‌رسیم. از طرف دیگر اگر ρ نموداری با شرط‌های گزاره ۲ باشد می‌توان دنباله‌ی دسترس‌پذیری برای ساخت آن ارائه داد. فرض کنید $(\rho_1 \geq \rho_2 \geq \dots \geq \rho_{\text{row}(\rho)})$ ستون‌های ρ باشند. ابتدا اعداد متمایز $i_1, i_2, \dots, i_{\rho_1} \in \{1, \dots, n\}$ را انتخاب می‌کنیم. با فرض $i_{\rho_1+1} = i_1$:

$$(i_1, n+1)(i_2, n+1) \cdots (i_{\rho_1+1}, n+1) = (i_1, i_2, \dots, i_{\rho_1}) \in S_n$$

حال دوباره اعداد متمایز $\{i_1, i_2, \dots, i_{\rho_1}\} \setminus \{1, \dots, n\}$ را انتخاب می‌کنیم و با آن دور ρ_2 را می‌سازیم. به همین شکل تمام ρ_i ها را می‌سازیم. توجه کنید که این کار انجام پذیر است زیرا کل اعداد متمایزی که انتخاب می‌شوند برابراند با

$$(\rho_1 + 1) + \dots + (\rho_{\text{row}(\rho)} + 1) = |\rho| + \text{row}(\rho) \leq k$$

معادل بودن ۲ و ۳ از تعریف واضح است.

با توجه به این که $\mathbb{E}_n(J_n^k)$ عضوی از $Z(\mathbb{C}[S_n])$ است، لم بالا نشان می‌دهد:

$$\mathbb{E}_n(J_n^k) = \sum_{\sigma \in \tilde{\mathbb{Y}}_k} K_{\sigma;n} A_{\sigma^* \cup (n-|\sigma^*|)}$$

که $K_{\sigma;n}$ ها اعداد صحیح و نامنفی هستند و $A_{\sigma^* \cup (n-|\sigma^*|)}$ مجموع دسته تزویجی جایگشت‌های با نمودار $\sigma^* \cup (n-|\sigma^*|)$ هستند. در واقع $K_{\sigma;n}$ تکرار این جملات در بسط $\mathbb{E}_n(J_n^k)$ است.

□

قضیه ۲۸.۳. ضرب $K_{\sigma;n}$ در $\mathbb{E}_n(J_n^k)$ از مرتبه $n^{m(\sigma)}$ است. به این معنا که نسبت آن‌ها وقتی n به سمت بی‌نهایت میل می‌کند به یک عدد ثابت می‌رود.

اثبات. بار دیگر به استدلال لم ۲۷.۳ توجه کنید. برای نشان دادن معادل بودن گزاره‌های ۱ و ۲ روشی برای به دست آوردن نمودار $\sigma = (\sigma_1 \geq \sigma_2 \geq \dots \geq \sigma_{\text{row}(\sigma)})$ توسط جایگشت‌ها ارائه دادیم. از لحاظ مرتبه، جایگشت‌هایی که به این شکل در نظر گرفته می‌شوند با کل جایگشت‌های سازنده $A_{\sigma^* \cup (n-|\sigma^*|)}$ برابرند. این نتیجه می‌دهد که کافیت کل درجات آزادی در ساخت این جایگشت‌ها شمرده شود. این عدد برابر $\frac{|\sigma|+l(\sigma^*)}{2}$ است و بنا بر این تعداد این جایگشت‌ها از مرتبه $n^{\frac{|\sigma|+l(\sigma^*)}{2}}$ است. اما چون $A_{\sigma^* \cup (n-|\sigma^*|)}$ جمله دارد باید عدد اخیر را بر $n^{|\sigma^*|}$ تقسیم کنیم که حاصل $n^{m(\sigma)}$ می‌شود. □

$$\delta_e(J_n^k) = \begin{cases} \frac{1}{\frac{k}{2}+1} \binom{k}{\frac{k}{2}} + O(n^{k/2-1}) & k \in 2\mathbb{Z} \\ 0 & k \in 2\mathbb{Z} + 1 \end{cases} \quad \text{قضیه ۲۹.۳}$$

اثبات. باید تعداد مسیرهای دسترس‌پذیر با طول k را بشماریم که از \emptyset شروع و به آن ختم می‌شوند. در این مسیرها هر ترانهشت باید زوج بار ظاهر شود. در نتیجه این تعداد برای k فرد صفر است. از طرف دیگر اگر k زوج باشد بیشترین تعداد مسیرهای دسترس‌پذیر وقتی است که هر ترانهشت دقیقاً دو بار ظاهر شود. (مابقی حداکثر $1 - \frac{k}{2}$ عضو مختلف دارند و در نتیجه تعداد آن‌ها از مرتبه $n^{\frac{k}{2}-1}$ است.) در نتیجه تعداد مسیرهای دسترس‌پذیر که از \emptyset شروع و به آن ختم می‌شود برابر عدد کاتالان است که در بالا آمده است. □

قضیه ۳۰.۳. مولفه e در $\mathbb{E}(J_n^k)$ برابر است با: $\delta_e(\mathbb{E}(J_n^k)) - \delta_e(J_n^k) = O(n^{k-1})$

اثبات.

$$\begin{aligned} \sum_{\sigma \in YYK} K_{\sigma:n}^{\vee} |C_{\sigma^* \cup (n - |\sigma^*|)}| &= \sum_{\sigma \in \bar{Y}_k} c_{\sigma} n^{\vee m_{\vee}(\sigma)} n^{|\sigma^*|} (1 + O(n^{-1})) \\ &= \sum_{\sigma \in \bar{Y}_k} c_{\sigma} n^{l(\sigma) + \vee m_{\vee}(\sigma)} (1 + O(n^{-1})) \end{aligned}$$

که ثابت c_{σ} مستقل از n است. برای $\sigma \in \bar{Y}_k$ تساوی $l(\sigma) + m_{\vee}(\sigma) = k$ معادل زوج بودن k و $\sigma = (\frac{k}{2})$ است. (برای مابقی σ ها $l(\sigma) + m_{\vee}(\sigma) \leq k - 1$) در نتیجه در بسط J_n^k تنها کافیت جملاتی که به شکل $(i_1, i_2) \dots (i_{k-1}, i_k)$ (همه متمایز هستند) تجزیه می شوند شمرده شوند. (تعداد مابقی جملات از مرتبه n^{k-1} است) در این جملات $n + 1$ نمی تواند ظاهر شود و در نتیجه تحت نگاشت \mathbb{E}_n ثابت می ماند که این حکم را ثابت می کند. \square

۹.۳. قانون ضعیف همگرایی نمودارهای یانگ

در این بخش قضیه زیر را ثابت می کنیم:

قضیه ۳.۱۰.۳. (قانون ضعیف همگرایی برای نمودارهای یانگ): برای هر $\varepsilon > 0$ و $k = 1, 2, \dots$ داریم:

$$\lim_{n \rightarrow \infty} \mathbb{P}(\{t : |M_k(m_{t(n)\sqrt{n}}) - M_k(m_{\Omega})| \geq \varepsilon\}) = 0$$

اثبات. با استفاده لم قبل و محاسبه گشتاورهای m_{Ω} و $\delta_e(J_n^k)$ داریم:

$$\begin{aligned} \delta_e((\mathbb{E}(J_n^k) - n^{k/\vee} M_k(m_{\Omega}))^{\vee}) &= \\ \delta_e((\mathbb{E}(J_n^k)^{\vee} - \vee \delta_e(J_n^k) n^{k/\vee} M_k(m_{\Omega}) + n^k M_k(m_{\Omega}))^{\vee}) &= \\ \delta_e(J_n^k)^{\vee} + O(n^{k-1}) - \vee \delta_e(J_n^k) n^{k/\vee} M_k(m_{\Omega}) + n^k M_k(m_{\Omega})^{\vee} &= \\ O(n^{k-1}) \end{aligned}$$

با بررسی ضرب همانی عملگرها در بسط $\mathbb{C}[S_n] = \bigoplus_{\lambda \in \mathbb{Y}_n} \text{End}(V_{\lambda})$ داریم:

$$\delta_e(\cdot) = \sum_{\lambda \in \mathbb{Y}_n} \frac{\dim(\lambda)}{n!} \text{tr}_{\lambda}(\cdot)$$

و در نتیجه:

$$\begin{aligned} \delta_e((\mathbb{E}(J_n^k) - n^{k/\gamma} M_k(m_\Omega))^\gamma) &= \\ \sum_{\lambda \in \mathbb{Y}_n} \frac{\dim(\lambda)^\gamma}{n!} \operatorname{tr}_\lambda((\mathbb{E}(J_n^k) - n^{k/\gamma} M_k(m_\Omega))^\gamma) &= \\ \sum_{\lambda \in \mathbb{Y}_n} \frac{\dim(\lambda)^\gamma}{n!} \operatorname{tr}_\lambda(\mathbb{E}(J_n^k) - n^{k/\gamma} M_k(m_\Omega))^\gamma &= \\ \sum_{\lambda \in \mathbb{Y}_n} \frac{\dim(\lambda)^\gamma}{n!} (M_k(m_\lambda) - n^{k/\gamma} M_k(m_\Omega))^\gamma \end{aligned}$$

(توجه کنید که برای $a \in Z(\mathbb{C}[S_n])$, $\operatorname{tr}_\lambda(a^\gamma) = \operatorname{tr}_\lambda(a)^\gamma$) پس:

$$\sum_{\lambda \in \mathbb{Y}_n} \frac{\dim(\lambda)^\gamma}{n!} (M_k(m_\lambda) - n^{k/\gamma} M_k(m_\Omega))^\gamma = O(n^{-1})$$

□ که با نامساوی چیشف و $n^{k/\gamma} M_k(m_\Omega) = M_k(m_{\lambda\sqrt{n}})$ قانون ضعیف را نتیجه می دهد.

۱۰.۳. قانون قوی نمودارهای یانگ

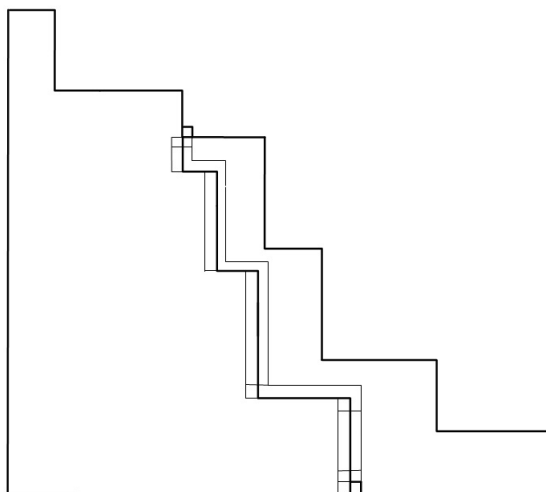
مشابه استدلال قانون قوی اعداد بزرگ برای حالتی که گشتاورها متناهی باشد، می توان قانون زیر را برای نمودارهای یانگ ثابت نمود:

قضیه ۳۲.۳. (قانون قوی همگرایی نمودارهای یانگ): فرض کنید k یک عدد طبیعی است. در این صورت برای تقریباً هر مسیر $(\emptyset = t(0) \nearrow t(1) \nearrow \dots \nearrow t(n) \nearrow \dots)$ در Γ داریم:

$$\lim_{n \rightarrow \infty} |M_k(m_{t(n)\sqrt{n}}) - M_k(m_\Omega)| = 0$$

ما در این جا اثبات این حکم را نمی آوریم ولی سعی می کنیم ارتباط آن را به جایگشت های تصادفی بیان کنیم. همان طور که در بخش شرح دادیم یک روش برای ساخت یک جایگشت تصادفی، قرار دادن اعداد به طور متوالی در بین جایگشت مرحله قبل است. اثبات می کنیم اگر به نمودارهای یانگ متناظر آن ها نگاه کنیم، فرایندی که به این شکل ساخته می شود همان فرایندی است که روی نمودارهای یانگ ساختیم. یکی از نتایج این تناظر این است که نشان می دهد $\lim_{n \rightarrow \infty} \frac{L_n(\sigma^n)}{\sqrt{n}} = 2$ (تقریباً به ازای هر دنباله $\{\sigma^n\}_{n=1}^\infty$ از جایگشت ها)

ادعای بالا را اثبات می کنیم. فرض کنید λ و Λ دو نمودار یانگ باشند که $\lambda \nearrow \Lambda$ و $|\lambda| = n$. مجموعه جایگشت هایی از S_n در نظر می گیریم که با تناظر رابینسون-شنسند به نمودار λ می روند و A_λ را مجموعه جایگشت هایی در S_{n+1} بگیرد که با افزودن $n+1$ به یک جایگشت در A_λ به دست می آید و نمودار



شکل ۱۰.۳: نحوه جابجایی اعداد

آن با تناظر رابینسون- شنستد Λ باشد. باید ثابت کرد $\frac{\#A_\Lambda}{(n+1)\#A_\lambda}$ همان احتمال گذر از نمودار λ به Λ و یا $\frac{\dim(\Lambda)}{(n+1)\dim(\lambda)}$ است.

فرض کنید $\sigma \in A_\lambda$. ادعا می‌کنیم با دانستن $Q(\sigma)$ به تنهایی می‌توان مشخص کرد که آیا با اضافه کردن $n+1$ به σ جایگشت جدید عضوی از A_Λ است یا خیر. به عبارت دیگر با دانستن اینکه $n+1$ در کدام مرحله به σ اضافه می‌شود و $Q(\sigma)$ می‌توان نمودار Q جایگشت جدید را به دست آورد. برای چک کردن این ادعا تناظر $(P(\sigma), Q(\sigma)) \rightarrow \sigma$ را دوباره بررسی کنید. تاکنون حداقل نتیجه می‌گیریم A_Λ مضربی از $\dim(\lambda)$ است (زیرا روی $P(\sigma)$ آزادی عمل داریم) بنابراین برای اثبات تساوی $\dim(\Lambda) \cdot \dim(\lambda) = \#A_\Lambda$ باید یک تناظر بین نمودارهای استاندارد یانگی که شکل Λ دارند جایگشت‌های σ با خاصیت بالا به دست آوریم.

در شکل ۱۰.۳ یک نمودار یانگ کشیده شده است. فرض کنید وقتی عدد $n+1$ را به جایگشتی که $Q(\sigma)$ را می‌سازد اضافه می‌کنیم این عدد برای اولین بار در پایین‌ترین مربع نمودار ظاهر شود و با اضافه کردن اعداد بعدی این عدد روی مسیر کشیده شده بالا رود. نکته مهم این است که با دانستن ترتیب بزرگتر و کوچکتری اعداد روی مسیر کشیده شده می‌توان پی برد عدد در نهایت روی کدام خانه نمودار قرار می‌گیرد. و در پایان برای ساخت تناظر مربع‌های روی این مسیر پله‌ای را یک واحد جابجا کنید طوری که هر مربع یا به مربع پایین خود برود و یا مربع سمت راستش و مربع $n+1$ نیز حذف شود.

آ. ضمیمه

۱.آ. نظریه نمایش

قبل از آن که نظریه گروه‌ها شکل گیرد ریاضیدانان تصویری هندسی از این مفهوم داشتند که معمولاً با تقارن‌های یک شی بیان می‌شد. به عنوان مثال برای بیان گروه جایگشت‌های S_n می‌توانیم تبدیل‌های خطی را در نظر بگیریم که یک هرم را ثابت نگه می‌دارد. در واقع در پشت این نمایش گروه نگاشت‌های خطی با عمل ترکیب آن‌ها قرار دارد که به علت غنای زیاد خود، هر گروهی در آن قابل بیان است. بعدها به موازات معرفی نظریه گروه‌ها، نظریه نمایش شکل گرفت که اکنون در ریاضیات و فیزیک جایگاه مهمی دارد. در این قسمت مبانی این نظریه را بیان می‌کنیم.

یک نمایش از گروه متناهی G در یک فضای برداری متناهی بعدی V (روی \mathbb{C}) همومورفیسم $\rho : G \rightarrow GL(V)$ از گروه G به گروه خودریختی‌های V است. این نگاشت یک ساختار G -مدول روی V می‌دهد. زیرا به هر عضو $g \in G$ روی V نگاشتی خطی می‌دهد که $v \in V$ را به $\rho(g)(v)$ یا به شکل خلاصه تر $g.v$ می‌فرستد. در صورتی که ابهامی پیش نیاید به V نمایش G می‌گوییم. مشابه عملیات روی مدول‌ها، می‌توان دو نمایش را با هم جمع مستقیم کرد یا تانسور کرد و در صورت امکان خارج قسمت گرفت. یک نمایش V بدیهی نامیده می‌شود هرگاه $\dim_{\mathbb{C}}(V) = 1$ و نگاشت $\rho(G)$ برای هر $\rho \in G$ همانی باشد. یکی از مهمترین مثال‌های نمایش یک گروه، $\mathbb{C}[G]$ و یا فضای برداری آزاد تولید شده توسط اعضای G روی \mathbb{C} است. هر عضو G از چپ (یا راست) می‌تواند روی آن عمل کند.

تعریف ۱.آ. نمایش V از گروه G تحویل‌ناپذیر خوانده می‌شود اگر در هر تجزیه آن به جمع مستقیم دو نمایش، حداقل یکی از آنها بدیهی باشد. قضیه زیر یکی از اساسی‌ترین قضیه‌ها در نظریه نمایش است:

قضیه ۲.آ. قضیه اول شور: فرض کنید V یک نمایش از گروه G باشد که زیر فضای $W \subseteq V$ از آن ناوردا باشد. (به عبارت دیگر برای هر $g \in G$ و $w \in W$ ، $\rho(g)(w) \in W$) در این صورت زیر فضای مکمل ناوردا W' برای W وجود دارد: $V = W \oplus W'$

اثبات. ضرب داخلی دلخواهی مانند H روی V قرار دهید و ضرب داخلی زیر را با میانگین‌گیری از آن بسازید:

$$H'(v, w) = \sum_{g \in G} H(g.v, g.w)$$

این ضرب داخلی نسبت به G ناورداست. (به عبارت دیگر برای هر $g \in G$ و $v, w \in W$ $H(g.v, g.w) = H(v, w)$) را مکمل عمود نسبت به آن بگیرید. اثبات می‌کنیم W' ناورداست. فرض کنید $w \in W'$ باید نشان داد برای هر $g \in G$ و $g.w \in W'$ یا معادلا اگر $v \in W$ آنگاه $H'(v, g.w) = 0$. بخاطر ناوردایی ضرب داخلی عبارت اخیر برابر است با $H'(g^{-1}.v, w)$ که با توجه به این w در W' است، برابر با صفر است و حکم اثبات می‌شود. \square

نتیجه ۳.آ. هر نمایشی را می‌توان به شکل جمع مستقیم‌ای از نمایش‌های تحویل ناپذیر نوشت.

قضیه ۴.آ. قضیه دوم شور: فرض کنید V و W دو نمایش تحویل ناپذیر گروه G و $\varphi: V \rightarrow W$ نگاشتی G -مدول بین آنها باشد (در نظریه نمایش عموماً نگاشت‌های مدول، حافظ عمل گروه هستند). در این صورت:
(۱) اگر $\varphi = \lambda.I, V = W$ و I نگاشت همانی است.
(۲) اگر $V \neq W$ ، همواره $\varphi = 0$.

اثبات. (۱) فرض کنید $V = W$. برای هر $\lambda \in \mathbb{C}$ ، $\ker(\varphi - \lambda.I)$ و $\text{Im}(\varphi - \lambda.I)$ دو زیر فضای ناوردا از V و W (به ترتیب) و در نتیجه چون این دو نمایش تحویل ناپذیرند یا زیر فضای صفر و یا کل فضا هستند. در نتیجه φ تنها یک مقدار ویژه دارد و بنابراین مضربی از همانی است.

(۲) چون φ یک G -مدول است، هسته آن یک زیر فضای خطی V است. ولی می‌دانیم V تحویل ناپذیر است. در نتیجه این هسته یا بدیهی یا کل V است. در حالت دوم مساله ثابت می‌شود. پس فرض کنید هسته نگاشت بدیهی باشد، یعنی φ یک به یک است. مشابه همین استدلال در مورد تصویر φ نتیجه می‌دهد که این نگاشت پوشاست. در نتیجه φ یک ایزومرفیسم می‌شود. و این با $V \neq W$ در تناقض است. \square

نتیجه ۵.آ. هر نمایش V تجزیه یکتایی به شکل زیر دارد: $V = V_1^{a_1} \oplus \dots \oplus V_n^{a_n}$ که V_i ها نمایش‌های تحویل ناپذیراند و $V_i^{a_i} = \underbrace{V_i \oplus \dots \oplus V_i}_{a_i}$.

نتیجه ۶.آ. فرض کنید V نمایشی تحویل ناپذیر و W نمایشی دلخواه از گروه G و $\varphi: V \rightarrow W$ نگاشتی G -مدول بین آنها باشد. در این صورت این نگاشت ناصفر است اگر V در بسط W ظاهر شود.

قضایای شور بررسی نمایش‌های یک گروه را به دو سوال زیر محدود می‌کند:

- (۱) شناسایی تمام نمایش‌های تحویل ناپذیر
 - (۲) به دست آوردن نمایش‌های V_i و ضرایب a_i برای یک نمایش V
- در ادامه ابزارهایی برای بررسی این دو سوال معرفی می‌کنیم.

۲.آ. مشخصه‌های یک نمایش

همانطور که تاکنون دیدیم در یک نمایش V ، هر $g \in G$ نگاشتی خطی روی V می‌سازد. مشخصه این عضو را اثر این نگاشت تعریف می‌کنیم: $\chi_V(g) = \text{tr}(g: V \rightarrow V)$. از آنجا که نگاشت‌های متناظر دو عضو

یک کلاس تزویجی با یکدیگر مزدوج هستند، مشخصه روی کلاس‌های تزویجی تعریف شده است.

قضیه ۷. فرض کنید V و W دو نمایش باشند. در این صورت:

$$\chi_{V \oplus W}(g) = \chi_V(g) + \chi_W(g) \quad (۱)$$

$$\chi_{V \otimes W}(g) = \chi_V(g) \cdot \chi_W(g) \quad (۲)$$

$$\chi_{V^*}(g) = \bar{\chi}_V(g) \quad (۳)$$

اثبات. بدیهی است. □

نگاشت زیر را در نظر بگیرید:

$$\varphi = \frac{1}{|G|} \sum_{g \in G} g \in \text{End}(V)$$

تصویر این نگاشت $V_{\text{stab}} = \{v \in V : \forall g \in G, g.v = v\}$ است و φ روی این مجموعه ثابت است. در نتیجه φ یک نگاشت افکنش است.

$$\frac{1}{|G|} \sum_{g \in G} \chi_g = \dim(V_{\text{stab}}) \quad \text{قضیه ۸.}$$

اثبات. کافیت اثر φ را محاسبه کنیم. □

فرض کنید V و W دو نمایش و $\text{Hom}_G(V, W)$ مجموعه تمام نگاشت‌های G مدول از V به W باشد. این فضایی خطی است و علاوه بر این چون هر نگاشت G مدولی را می‌توان در یک عضو گروه ضرب کرد این فضا نمایشی از G است. (این نمایش همان $V^* \otimes W$ است.) با فرض تحویل ناپذیری V از نتیجه بالا به دست می‌آید $\text{Hom}_G(V, W)$ بعدی برابر توان V در بسط W به نمایش‌های تحویل ناپذیر دارد و در نتیجه با قضیه بالا این بعد برابر است با:

$$\frac{1}{|G|} \sum_{g \in G} \chi_{V^* \otimes W}(g) = \frac{1}{|G|} \sum_{g \in G} \bar{\chi}_V(g) \cdot \chi_W(g)$$

در حالت خاص که V و W هر دو تحویل ناپذیر باشند و $V \neq W$ داریم:

$$\frac{1}{|G|} \sum_{g \in G} \chi_{V^* \otimes W}(g) = \frac{1}{|G|} \sum_{g \in G} \bar{\chi}_V(g) \cdot \chi_W(g) = 0$$

و اگر $V = W$:

$$\frac{1}{|G|} \sum_{g \in G} \chi_{V^* \otimes V}(g) = \frac{1}{|G|} \sum_{g \in G} \bar{\chi}_V(g) \cdot \chi_V(g) = 1$$

و در نتیجه اگر به هر نمایش تحویل ناپذیر از G بردار مشخصه را نسبت دهیم این بردارها برای نمایش‌های مختلف متعامد می‌شوند. و با توجه به این که این بردارها $|G|$ مولفه دارند نتیجه می‌شود تعداد نمایش‌های تحویل ناپذیر گروه حداکثر به تعداد $|G|$ است. علاوه بر این چون مشخصه روی کلاس‌های تزیوچی ثابت است، تعداد نمایش‌های تحویل ناپذیر حداکثر به تعداد کلاس‌های تزیوچی خواهد شد. این نکته مساله دوم نظریه نمایش را که به دست آوردن اعداد a_i در بسط $V = V_1^{a_1} \oplus \dots \oplus V_n^{a_n}$ است، حل می‌کند. زیرا:

$$a_i = \frac{1}{|G|} \sum_{g \in G} \bar{\chi}_V(g) \cdot \chi_{V_i}(g)$$

همانطور که گفتیم یکی از نمایش‌های گروه G ، $\mathbb{C}[G]$ است. می‌توان دید $\chi_V(g)$ تنها وقتی ناصفر است که $g = id$ و در این حالت $\chi_{id} = |G|$. و در نتیجه با جایگذاری در تساوی بالا:

$$a_i = \chi_{V_i}(id) = \dim(V_i)$$

بنابراین:

$$\mathbb{C}[G] = V_1^{\dim(V_1)} \oplus \dots \oplus V_n^{\dim(V_n)}$$

و در نتیجه با محاسبه بعد عبارت بالا:

$$|G| = \sum \dim(V_i)^2$$

که سری روی تمام نمایش‌های تحویل ناپذیر بسته شده است.

نتیجه ۹.۱. در حالتی که $G = S_n$ تساوی بالا همان $\sum_{\lambda} \dim(S_{\lambda})^2 = n!$ است که در این پایان‌نامه بارها با آن برخورد کردیم.

اما تاکنون می‌دانیم تعداد نمایش‌های تحویل ناپذیر یک گروه حداکثر برابر تعداد کلاس‌های تزیوچی آن است. در انتها عکس این موضوع را نشان می‌دهیم.

قضیه ۱۰.۱. تعداد نمایش‌های تحویل ناپذیر یک گروه دقیقاً برابر تعداد کلاس‌های تزیوچی آن است.

اثبات. کافیت ثابت کنیم برای هر نگاشت $\alpha : G \rightarrow \mathbb{C}$ که روی کلاس‌های تزیوچی ثابت است و هر نمایش تحویل ناپذیر V ، اگر $\sum_{g \in G} \alpha(g) \chi_V(g) = 0$ آنگاه $\alpha = 0$. فرض کنید V نمایشی تحویل ناپذیر است. نگاشت زیر را در نظر بگیرید:

$$\varphi_{\alpha, V} = \sum_{g \in G} \alpha(g) g \in \text{End}(V)$$

می‌توان ثابت کرد که $\varphi_{\alpha,V}$ یک G -مدول همیومرفیسم از V است. بنابراین با قضیه شور $\varphi_{\alpha,V} = \lambda I_V$ برای یک $\lambda \in \mathbb{C}$. اما طبق فرض:

$$\text{tr}(\varphi_{\alpha,V}) = \sum_{g \in G} \alpha(g) \chi_g = \lambda \dim(V) = 0$$

پس $\lambda = 0$ و این یعنی $\varphi_{\alpha,V}$ برای هر نمایش تحویل‌ناپذیر V صفر است. اما با تجزیه هر نمایش به نمایش‌های تحویل‌ناپذیر، $\varphi_{\alpha,V}$ برای هر نمایش V صفر است. اما این نمی‌تواند برقرار باشد زیرا با قرار دادن $V = \mathbb{C}[G]$ داریم:

$$\varphi_{\alpha,V} = \sum_{g \in G} \alpha(g)g = 0$$

و بنابراین:

$$\varphi_{\alpha,V}(id) = \sum_{g \in G} \alpha(g)g(id) = 0$$

اما $g(id)$ ها برای $g \in G$ مستقل خطی هستند در نتیجه $\alpha(g) = 0$ برای هر $g \in G$ و یا $\alpha = 0$. \square

کتاب نامه

- [۱] A.Hora, N.Obata *Quantum Probability and Spectral Analysis of graph*. Springer-Verlag, New York, 2007.
- [۲] David Aldous and Persi Diaconis *Longest increasing subsequences: from patience sorting to the Baik-Deift-Johansson theorem*. Bull. Amer. Math. Soc. 36 (1999), 413-432
- [۳] David Aldous and Persi Diaconis *Hammersley's Interacting Particle Process and Longest Increasing Subsequences* .
Probab. Th. Rel. Fields (1995)
- [۴] Jinho Baik , Percy Deift , Kurt Johansson *On the distribution of the length of the longest increasing subsequence of random permutations*.
J. Amer. Math. Soc
- [۵] BF Logan, LA Shepp *On A variational problem for random Young tableaux*
Advances in Mathematics, 1977 - Elsevier
- [۶] B Bollobás, P Winkler *On The longest chain among random points in Euclidean space*. Proceedings of the American Mathematical Society, 1988

Hammersly model and largest increasing subsequence in a random permutation

Abstract

One of the important research in probability theory is the study of the asymptotic behaviors of the random structures. In this thesis, Hammersly model, the longest increasing subsequence in random permutations, has been investigated. It goes back to 1960's originally and during the next decade many important tools developed and finally the problem settled in 1970's. Recently, its relations with other branches such as random matrix theory are found. In the thesis, an overview of the subject is presented and two different proofs are stated.

Keywords: Random Permutation, Largest increasing subsequence, Hammersly Model, Young Diagram, Representation of Symmetric group .



Sharif University of Technology
Department of Mathematical Sciences

Ms Thesis
Pure Mathematics

Hammersly model and largest increasing subsequence in a random permutation

By
Roosbeh Farhodi

Supervisor
Dr. Alishahi

December, 2010